直交集成板(CLT)構造炭化率之研究

內政部建築研究所自行研究報告

中華民國 109 年 12 月

(本報告內容及建議,純屬研究小組意見,不代表本機關意見)

直交集成板(CLT)構造炭化率之研究

研究主持人:詹家旺

研究期程:中華民國109年1月至109年12月

內政部建築研究所自行研究報告

中華民國 109 年 12 月

(本報告內容及建議,純屬研究小組意見,不代表本機關意見)

目次

表次III
圖次
摘 要VI]
第一章 緒論
第一節 研究緣起與背景
第二節 研究目的
第三節 研究方法2
第二章 文獻回顧
第一節 直膠集成板(CLT)與防火規定
第二節 耐火試驗14
第三節 木材高溫特性與炭化理論17
第四節 木材炭化率預估模式22
第三章 研究方法及實驗規劃25
第一節 研究方法25
第二節 實驗試體規劃設計26
第四章 實驗結果與分析35
第一節 CLT 樓板與牆實驗結果與分析33
第二節 炭化深度與炭化率分析48
第五章 結論與建議49
第一節 結論49
第二節 建議50
附錄一 期初、期中及期末會議紀錄回覆51
參考書目

表次

表 2-1	防火構造之建築物主要構造部分防火時效表	. 9
表 2-2	不同材種集成材燃燒實驗炭化深度	11
表 2-3	五種樹種大斷面集成材燃燒試驗之炭化深度與炭化速率	12
表 2-4	EU5 針對實木及集成材之密度所訂定之炭化深度速率	12
表 2-5	美國 NDS 所訂定之炭化深度速率	13
表 2-6	有效炭化速率和炭化層厚度	14
表 2-7	日本炭化預估模式彙整表	23
表 2-8	日本炭化預估模式計算結果表	24
表 3-1	CLT 之材料基本性質	27
表 3-2	CLT 樓板及牆耐火性能實驗試體規劃表	27
表 4-1	CLT 樓板及牆炭化深度與炭化速率實驗結果表	34
表 4-2	CLT-R1 樓板炭化深度量測結果	44
表 4-3	CLT-W1 及 CLT-W2 牆炭化深度量測結果	45

圖次

置	1 研究流程圖	. 3
邑	2 CLT 面板配置方式	. 6
置	3 CLT 板件配置横截面示意	. 6
圖	4 CLT 板件配置橫剖和縱剖視圖	. 7
圖	2-1 標準升溫曲線	15
圖	2-2 木材熱解過程中熱與質量之轉換	18
置	2-3 集成柱內部之溫度變化	19
置	2-4 鋼鐵與木材強度變化比較圖(AITC)	20
置	2-5 木材燃燒炭化層	22
置	3-1 CNS 12514-1、ISO 834-1 加熱溫度曲線	25
置	3-2 小型多功能加熱試驗爐	26
置	3-3 CLT 樓板及牆試體	28
邑	3-4 實驗試體測溫點佈設位置示意圖	29
邑	3-5 CLT 板材橫截面熱電偶佈設示意圖	29
邑	3-6 炭化深度量測位置示意圖	31
邑	3-7 厚度量測設備	31
邑	3-8 雷射測距儀	31
圖	4-1 樓板與牆非曝火面熱電偶及內部溫度(T1~T5、T-1-1~T-1-7)位置圖	34
邑	4-2 試體內部溫度時間曲線圖	36
邑	4-3 非加熱面溫度及橫截面溫度時間曲線圖	37
圖	4-4 試體 CLT-R1 樓板實驗過程照片	39
置	4-5 試體 CLT-R2 樓板實驗過程照片	40
邑	4-6 試體 CLT-W1 樓板實驗過程照片	41
置	4-7 試體 CLT-W2 樓板實驗過程照片	42

直交集成板(CLT)構造炭化率之研究

圖	4-	8	炭	化	深	度	量	測	結	果				 	•	 	 				 •	 	•		 •	٠.	•	 •	46
邑	4-	-9	炭	化	速	率	計	算	結	果				 		 	 					 	•					 •	46
圖	4-	-10) ;	試	體	刮片	徐)	炭	化	層征	爱	相	片			 	 					 							47

摘 要

關鍵詞:直交集成板、炭化深度、炭化率

一、研究緣起

本研究透過蒐集歐洲、北美、日本等地有關直交集成板 CLT 之構造防火法規與規範,以直交集成板 CLT 之構造耐火試驗及防火特性進行探討研究,並針對木構造建築物防火設計施工參考手冊提出有關直交集成板 CLT 構造增修建議。預計進行 2 組 CLT 樓板及 2 組 CLT 牆板之耐火實驗,探討做為驗證所需。實驗試體使用 5 層 15cm 日本扁柏 CLT(符合 JAS 規定)及 5 層 12cm 日本扁柏加柳杉(符合 JAS 規定)分別進行樓板及牆各 1 小時及 2 小時之耐火實驗。CLT 實驗試體經耐火試驗後,進行炭化層之刮除以確認炭化深度及炭化速率。

CLT 實驗試體加熱面經清除炭化層後所殘留之結構斷面,以每 10cm 距離量 測其縱向及橫向炭化深度值,將量測之炭化深度及炭化速率結果,以日本木材炭 化率預估模式,係藉由公式之計算,與實際實驗後所得到之炭化深度交叉比對分 析,利用實驗數據與預估模式之相關係數討論公式預估之準確性,作為木構造結 構設計之參考,以供未來規範修訂時之參考。

二、研究方法及過程

- 1. 文獻回顧法: 蒐集歐洲、北美、日本等地有關直交集成板CLT之構造防火 法規與規範,彙整國內外木材燃燒特性與炭化理論,整理分 析木構材炭化率預估模式。於木構材炭化率部份,對木材燃 燒特性、炭化理論與炭化率預估模式等相關資料彙整分析。
- 2. 實驗驗證法:擬定實驗計畫並規劃直交集成板CLT之炭化深度實驗,透過1 小時及2小時之火害實驗確立不同材種之CLT樓板及牆板在 加熱後之炭化深度。
- 3. 歸納分析法:透過文獻資料整理分析之木構材炭化率預估模式,依 CNS12514-1規範所規定加熱曲線實驗後,分析實驗結果資料。 在木構材炭化率部份,將依木構材加熱實驗炭化結果與炭化 率預估模式相互比較分析,利用實驗數據與預估模式之相關 係數討論公式預估之準確性,評估防火設計建議值。

三、重要發現

CLT 樓板及牆加熱實驗後,經清除炭化層後所殘留之結構斷面,量測炭化深 度與炭化速率值,並經過整理與分析結果如下:

- 1. 實驗試體 CLT-R1 及 CLT-R2 尺寸 160×140cm,因採水平加熱方式溫度蓄積 於試體加熱面底部,且 CLT 板材可燃物火載量大,因小型多功能爐排氣口 位於底部排氣功能略顯不足,使得試體於 55 分鐘後加熱溫度均高於標準 加熱溫度,實驗試體 CLT-W1 及 CLT-W2 尺寸 110×60cm 試驗結果亦相同, 建議試體尺寸應縮減,樓板試體縮減為 160×30cm,牆試體縮減為 110×30cm, 對於加熱 1 小時可滿足標準溫度加熱條件,但對於加熱 2 小時則須進一步 實驗探討。
- 2. 炭化深度量測結果 CLT-R1 樓板平均炭化深度值為 64mm,平均炭化速率為 1.07mm/min; CLT-W1 牆平均炭化深度值為 62.7mm,平均炭化速率為 1.05mm/min; CLT-W2 牆平均炭化深度值為 97.1mm,平均炭化速率為 1.62mm/min,試體 CLT-R1 樓板及 CLT-W1 牆經 1 小時加熱試驗其炭化量測 結果趨近,但均略高於文獻值 1 mm/min,研判係因實驗加熱過程初期 1 分鐘及第 55 分鐘後爐內溫度高於標準加熱溫度,導致炭化深度及炭化速率加快,CLT-W2 牆亦於第 55 分鐘後受爐內高溫影響加快炭化深度及速率。
- 3. 實驗結果炭化深度及炭化速率與日本炭化預估模式交叉比對雖可符合文獻設計手冊規定,但實際加熱實驗結果卻略高於理論值,研究顯示爐內加熱溫度應以可控制在標準加熱溫度曲線,避免受高溫影響其炭化深度及炭化速率。
- 4. 建議扁柏樹種直交集成板之炭化深度與炭化速率防火設計值,1 小時炭化深度防火設計值為64mm,炭化速率防火設計值為1 mm/min,2 小時部分因加熱爐內溫度偏高則須進一步實驗探討。

四、主要建議事項

建議一

可以依據 CLT 木構造炭化深度及炭化速率實驗結果研提木構造建築物設計及施工技術規範修正建議: 立即可行建議

主辦機關:本部建築研究所

協辦機關:內政部營建署

現行「木構造建築物設計及施工技術規範」第九章建築物之防火中第 9.3 節木構造防火設計定義木構造分為梁柱構件、框組壁式、原木層疊三類,建議增訂直交集成板 CLT 炭化深度與炭化速率。此項研究成果可供構造建築物設計及施工技術規範修正建議。

建議二

研擬直交集成板材不同樹種的炭化深度與炭化速率防火設計規範:中長期建議

主辦機關:本部建築研究所

協辦機關:內政部營建署

本研究受限經費僅能進行日本扁柏之樓板及牆試驗,未能涵蓋國產柳杉、日本柳 杉、北美 SPF、花旗松及歐洲雲杉等國際間常用材種,若未來能納入研究,則可 涵蓋國際間常用樹種之炭化深度與炭化速率防火設計規範參考。

第一章 緒論

第一節 研究緣起與背景

歐美日建築近幾年對木構技術與工法持續研究,其中縱橫多層次實木結構積 材工法(Cross-Laminated-Timber)建材特性除了具有環保、節能、耐候、耐燃、 防白蟻、組裝簡易、低碳排放、重量輕等優點之外,更可以突破傳統木構造建築 的樓層限制,往高樓層發展,木構造建築在國際間蓬勃的發展,目前國內木構造 建築的技術稍落後歐美日等國家,市場漸增的趨勢之下,相關木構造建築法規的 修訂與技術的研究需求為當前的研究課題。

近年來,隨著我國木構造建築的迅速發展,建築結構形式多元化,木材雖然是可燃材料,但木材燃燒時形成的炭化層能夠充當絕緣體,有效阻止進一步燃燒,大大提高木材的耐火極限。在相同條件下,普通木結構的耐火阻燃值是鋼結構的1.3倍,水泥結構的1.7倍。其中以CLT新型木結構尤受重視,許多國家亦針對CLT結構耐火性能進行相關的試驗與研究,而我國目前對於CLT耐火性能研究尚處於探索階段,而世界各國正積極研訂CLT標準及適用之建築規範,然我國於108年11月14日修訂CNS16114直交集成板國家標準,但國內木構造建築設計及施工規範因缺乏相關的試驗研究尚未將耐火性能標準納入,雖然產業界有CLT構造建築物的工程案例,但因現行法規的限制使得運用受限。由於現行木構造建築物施工及設計技術規範中缺乏有關CLT構造之相關內容,為將CLT構造建築物施工及設計技術規範中缺乏有關CLT構造之相關內容,為將CLT構造建築物施工及設計技術規範中缺乏有關CLT構造之相關內容,為將CLT構造防火設計納入建築法規,並確保CLT構造建築物防火安全,因此CLT結構耐火性能的研究具有重要的科研價值與意義,有必要針對此課題進行相關研究,以作為木結構防火設計建議依據。

第二節 研究目的

本研究之主要目的為蒐集歐洲、北美、日本等地有關直交集成板 CLT 之構造防火法規與規範。彙整國內外木材燃燒特性與炭化理論,整理分析木構材炭化率預估模式,並針對直交集成板 CLT 構造之炭化率特性進行探討。同時研提木構造建築物設計及施工技術規範增訂直交集成板 CLT 構造炭化深度防火規定建議值,

直交集成板(CLT)構造炭化率之研究

以期列為防火設計規範之制定參考。

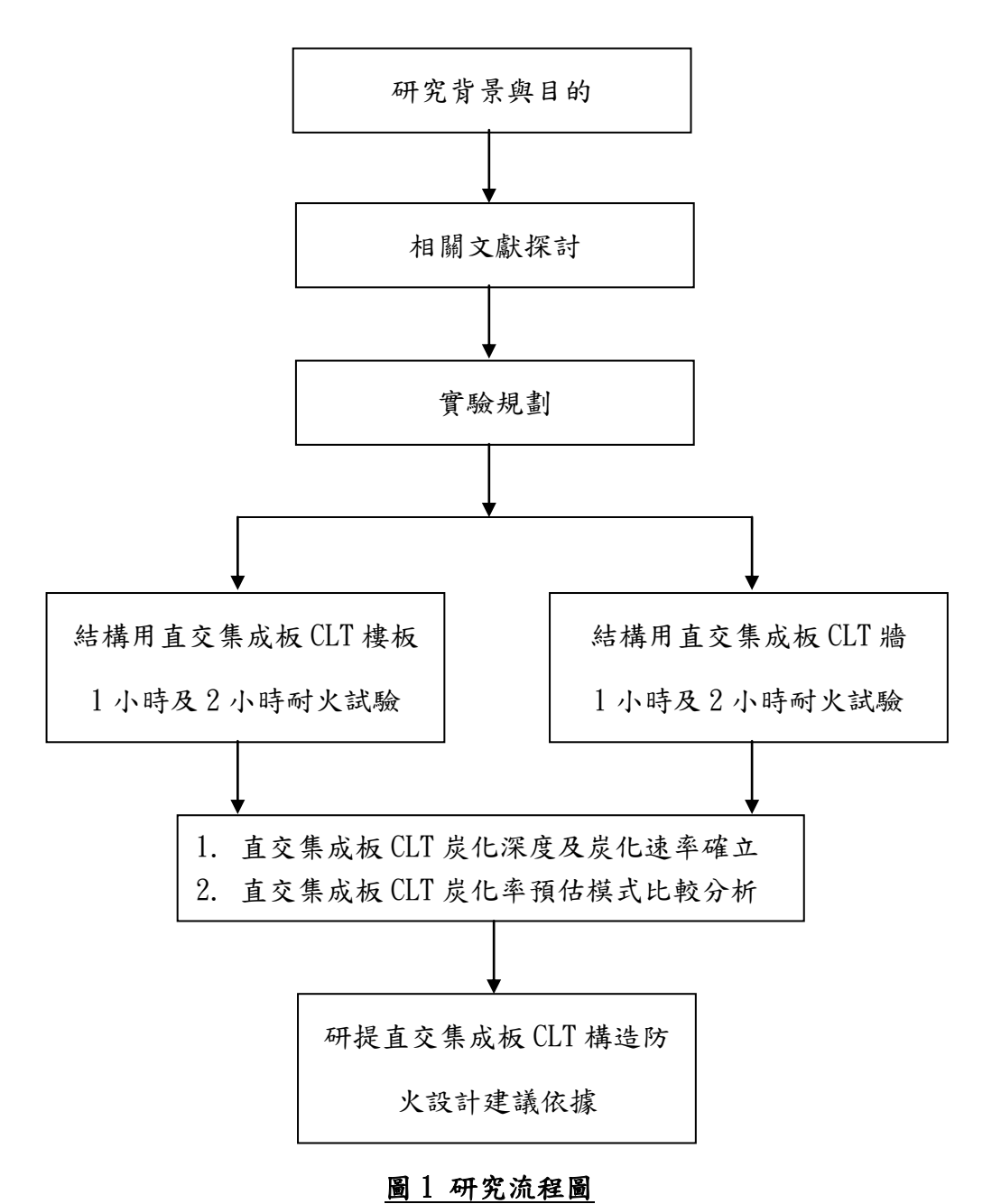
本研究預期成果如下:

- 1. 探討直交集成板(Cross Laminated Timber)木構造特性, 蒐集國際相關炭 化率規範與文獻整理。
- 2. 研擬直交集成板(Cross Laminated Timber)木構造牆及樓板系統炭化率及炭化深度防火設計建議。

第三節 研究方法

本研究採用之研究方法整理如下:

- 1. 文獻回顧法: 蒐集歐洲、北美、日本等地有關直交集成板CLT之構造防火 法規與規範,彙整國內外木材燃燒特性與炭化理論,整理分 析木構材炭化率預估模式。於木構材炭化率部份,對木材燃 燒特性、炭化理論與炭化率預估模式等相關資料彙整分析。
- 2. 實驗驗證法:擬定實驗計畫並規劃直交集成板CLT之炭化深度實驗,透過1 小時及2小時之火害實驗確立不同材種之CLT樓板及牆板在 加熱後之炭化深度。
- 3. 歸納分析法:透過文獻資料整理分析之木構材炭化率預估模式,依 CNS12514-1規範所規定加熱曲線實驗後,分析實驗結果資 料。在木構材炭化率部份,將依木構材加熱實驗炭化結果 與炭化率預估模式相互比較分析,利用實驗數據與預估模 式之相關係數討論公式預估之準確性,評估防火設計建議 值。



(农业土工、人元为井田

(資料來源:本研究整理)

第二章 文獻回顧 第一節 直膠集成板(CLT)與防火規定

一、直膠集成板(CLT)特性

直交集成板為木條相互堆疊後,於高壓力下冷膠合製成的大型尺寸原木實心交疊木積材,以三、五、七層縱橫多層製成。積材的厚度有5.7公分至60公分,長度最長可至16.5公尺,寬度為2.95公尺。(依海運貨櫃尺寸限制,長度為12.5公尺、寬度為2.35公尺)。

1995 年開發出來的 CLT 新式工程結構木建材, CLT 集成員係以裁切分等的木條縱橫膠合製成。CLT 有很大的優勢,利用低,中,高檔木材交叉層壓(雙向)作用的木條減少在面板平面腫脹和收縮,同時大大提高整體承載能力。

膠合前,積材實木均經嚴格的檢驗分級,例如節塊、蟲蛀或其他異狀之材料都必須淘汰。因積材實木結構及尺寸之不同,縱橫積材原料之厚度可介於 19mm至 40mm 之間,根據預期平衡濕度,經技術乾燥並膠合之實木條板的濕度為 12%±2%。

CLT 交叉層積材是一種創新性的新型木質工程材料,由至少3層板材組成,每層結構由實木鋸材或結構用木質複合材平行膠合構成,且相鄰層按木材紋理相互垂直排列膠合。

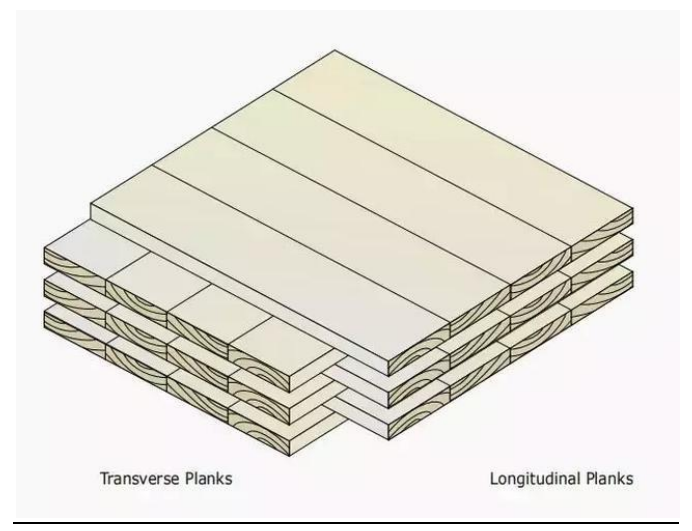


圖 2 CLT 面板配置方式

(資料來源:https://kknews.cc/zh-tw/home/149m6pz.html)

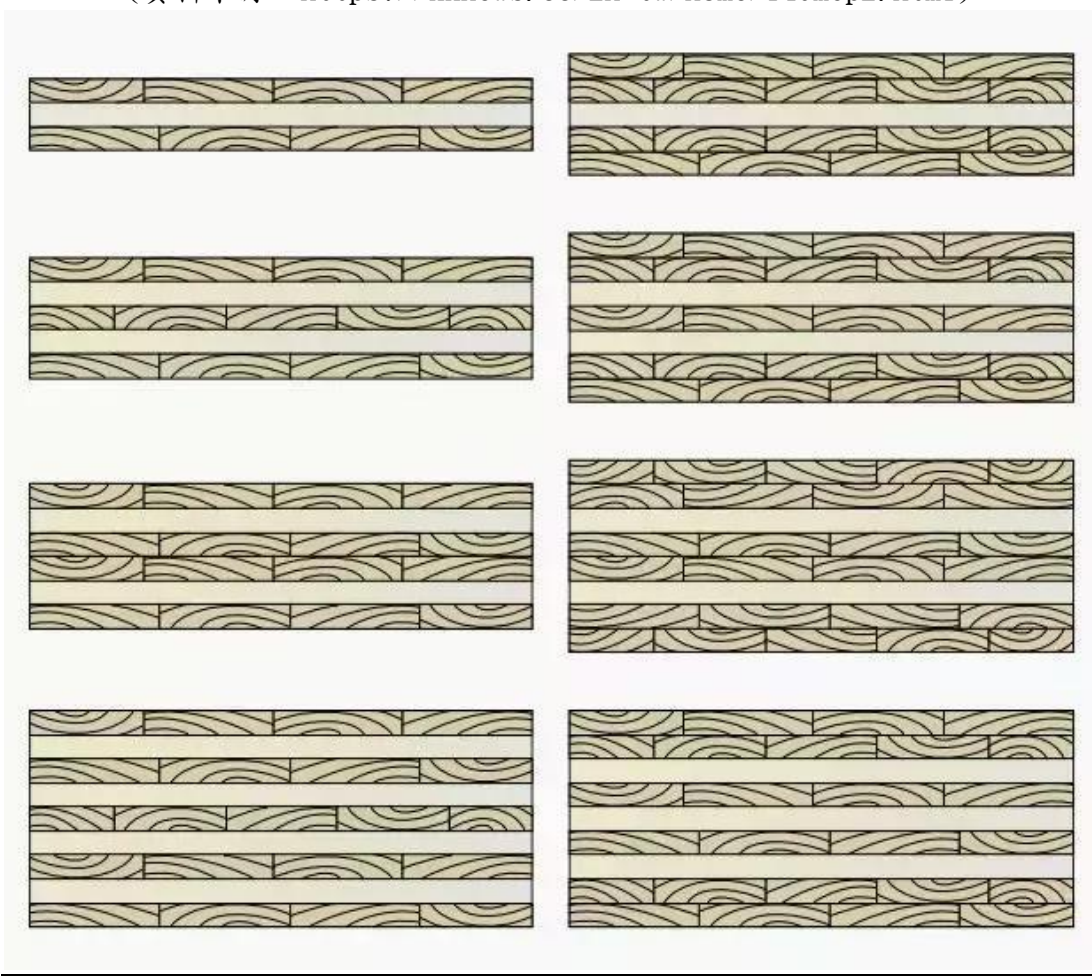
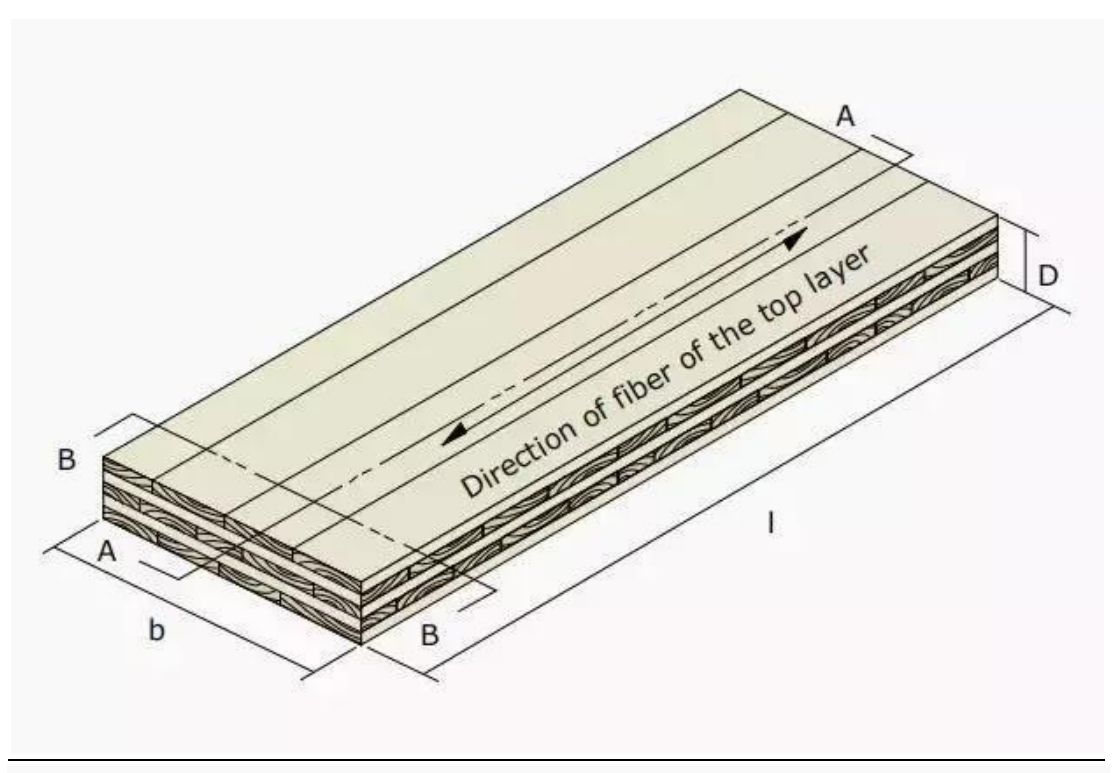


圖 3 CLT 板件配置橫截面示意

(資料來源:https://kknews.cc/zh-tw/home/149m6pz.html)



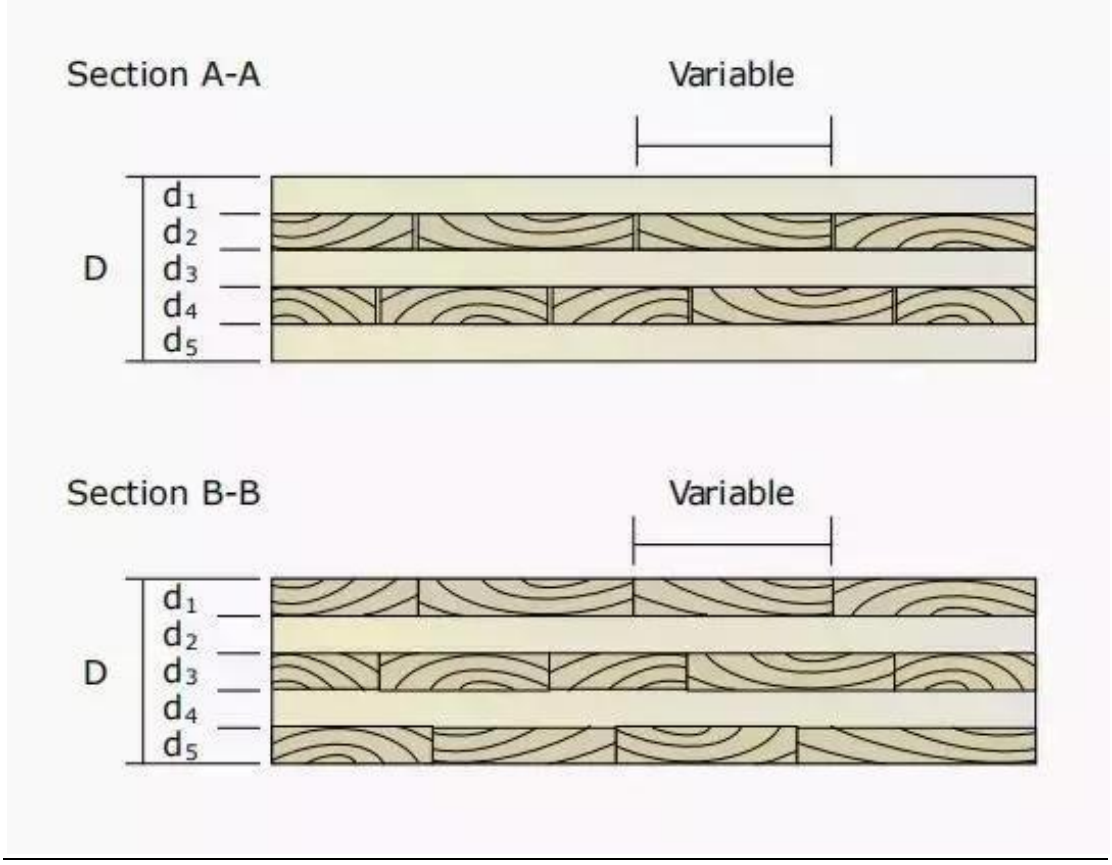


圖 4 CLT 板件配置橫剖和縱剖視圖

(資料來源:https://kknews.cc/zh-tw/home/149m6pz.html)

因為 CLT 相鄰層的正交結構,使其在材料主次方向均具有相同的乾縮濕脹性能,整體的線乾縮濕脹係數僅 0.02%,其尺寸穩定性是實木和膠合木橫紋的 12 倍。

在耐火性能上木材雖然是可燃材料,但木材燃燒時形成的炭化層能夠充當絕緣體,有效阻止進一步燃燒,大大提高木材的耐火極限。在相同條件下,普通木結構的耐火阻燃值是鋼結構的1.3倍,是水泥結構的1.7倍。與傳統的輕型框架構件相比,CLT建築構件的截面尺寸較大,燃燒時表面炭化形成絕熱保護層,有效提高了其在火災中的承載力,且層板之間幾乎沒有空隙,火勢通過空氣間隙傳播的風險性顯著降低。

此外,相關研究表明,即總厚度一定的CLT,其層板單元厚度越大,耐火極限越高。提高CLT層板單元厚度、增加層板數量,以及設置表層覆面(如石膏板),均可提高CLT結構的耐火性。

CLT 建築中構件與構件之間的連接主要通過框架連接件配合緊固件來實現。 除 CLT 層板本身剛度較高外,構件間的螺釘、鉸鏈等連接件與緊固件系統,使整 體結構獲得良好的延性和耗能特性。

義大利與日本學者合作,對 3 層和 7 層實體 CLT 建築進行了震動試驗。3 層 CLT 建築經歷了15次地震模擬,仍然沒有出現嚴重的損害。7 層 CLT 建築在 14 次地震模擬後,亦保持足夠的結構強度和穩定性,X軸方向偏移僅1.3%,Y軸方向偏移1.0%。CLT 建築的抗震性能主要取決於連接件的性能。應用於低層建築,CLT 是重型結構材料,剛度高且不會發生斷裂現象;應用於高層建築,框架連接件的使用,可增強結構的中高層韌性和延展性,使得建築在承受地震荷載時能吸收大量能量,從而提高建築的抗震性能。

在隔音、保溫性能上建築的隔音和保溫性能越來越受到人們的重視。由於木材的低熱傳導性和 CLT 的連續大幅面特徵,可保證建築良好的氣密性和隔音保溫隔熱效果。CLT 具建造快和噪音低與傳統鋼筋混凝土結構相比,由於 CLT 可在工廠實現模塊化生產,預製成各類牆板、樓板及屋頂板。在現場進行組裝與建造,用以取代現澆鋼筋水泥製品和水泥預製板。因此其組裝快,工期短,同時建築現場噪音低,無污染,無建築垃圾產生,拆卸後可重新回用。可用於低、中層甚至

高層(20 層以上)的民用住宅和非民用建築,可完全代替傳統鋼筋混凝土和磚 混結構,也可部分代替,與鋼筋混凝土等混合使用應用。

二、木構造防火規範

(一) 國內規範

依「木構造建築物設計及施工技術規範-第九章建築物之防火」,相關防火 規定整理如下:

1. 9.1一般規定

木構造建築物防火設計及施工,除應依建築技術規則建築設計施工編第三章規定外,其構造系統之防火設計依本章規定。

- 9.2木構造建築物防火規劃基本原則之解說內容 木構造建築物依建築技術規則建築設計施工編規定,需考量必要之防火 措施。
- a. 防火區劃設置規定如下:木構造建築物屬非防火構造者,依建築技術規則建築設計施工編第八十一條規定:其總樓地板面積應按每五○○平方公尺,以具有一小時以上防火時效之牆壁予以區劃分隔。
- b. 木構造建築物屬防火構造者其主要構造之柱、樑、承重牆壁、樓地板及 屋頂之防火時效,依建築技術規則建築設計施工編第七十條規定。

建築技術規則建築設計施工編第七十條規定之防火時效如表 2-1

表 2-1 防火構造之建築物主要構造部分防火時效表

層數	自頂層起算	自頂層起算超過	自頂層起算
一	不超過四層之各	第四層至第十四層之	第十五層以上之各
土安佛迈印分	樓層	各樓層	樓層
承重牆壁	一小時	一小時	二小時
樑	一小時	二小時	三小時
柱	一小時	二小時	三小時
樓地板	一小時	二小時	二小時
屋頂		半小時	_

(資料來源:建築技術規則)

建築技術規則建築構造編之第171條之1有關木構造建築物高度限制為「木構造建築物之簷高不得超過14公尺,並不得超過4層樓。但供公眾使用而非供居住用途之木構造建築物,結構安全經中央主管建築機關審核認可者,簷高得不受限制。」

綜合建築技術規則建築構造編第 171 條之 1 及設計施工編第 70 條,木構造建築物如為防火構造者,其全棟樓層數至多 4 層,簷高至高 14 公尺,且承重牆壁、樑、柱、樓地板等主要設備均須具 1 小時防火時效以上,屋頂防火時效須為半小時以上。

國內對木材炭化率之相關規範,於「木構造建築物設計及施工技術規範—第九章建築物之防火」中,9.3對於木構造防火設計有相關之規定:

1. 梁柱構架

- (1) 構材之最小斷面應依防火時效設計,於時效內燃燒之殘餘斷面須符 合結構設計承載能力所需之最小斷面尺寸規定。
- (2) 集成材 1 小時燃燒炭化深度設定為 50mm 以上,非集成材 1 小時燃燒炭化深度設定為 60mm 以上。

2. 原木層疊

原木層疊系統除依梁柱構架系統考慮炭化率計算構材之安全斷面與接 合部依梁柱構架系統規定處理外,其餘依相關設計及施工規範處理。

而於該節次之解說中有關於梁柱構架系統防火設計如下:

柱、梁、間柱、橫撐木等主構架所使用的構材,若未設置防火被覆時,應預估防火時效內構材之燃燒炭化深度,設計適當之斷面尺寸,使於規定防火時效內燃燒之殘餘斷面(即安全斷面)仍具備結構應有之承載能力。木材之炭化深度,係假設炭化率(火災發生時,從木材表面向內部燃燒炭化之速率以mm/min表示)固定,將其乘上持續燃燒時間後求得。

在規範中以「CNS12514 建築物構造部份之耐火試驗法」進行 5 種材種集成 材炭化深度實驗,燃燒時間為 30、60 分鐘,實驗結果如表 2-2。依實驗結果建 議集成材 1 小時炭化深度設定為 50mm 以上,半小時為 25mm 以上,非集成材 1 小時炭化深度設定為 60mm 以上,半小時為 30mm 以上。若不依此數據設計,得採 用經中央主管機關認可之實際實驗值設計。如非採炭化深度設計之火災安全防護措施,則應經中央主管機關認可。

表 2-2 不同材種集成材燃燒實驗炭化深度

材種	實驗時間	側邊炭化深度	底部炭化深	備註			
		(mm)	度(mm)				
杉木	30分鐘	20.0	23. 5	1. 實驗方法採			
121	60分鐘	43. 4	46.0	「CNS12514建築物			
16n 17	30分鐘	20.4	21.5	構造部份之耐火試			
柳杉	60分鐘	42. 1	46.8	驗法」。			
ム漁	30分鐘	22. 7	23. 5	2. 試體三面受火。			
台灣杉	60分鐘	45. 4	49.0	3.30分鐘實驗:試體			
サギム	30分鐘	19. 2	20.8	斷面尺寸260 mm ×			
花旗松	60分鐘	37. 4	37. 9	140 mm			
	30分鐘	17. 0	17. 2	4.60分鐘實驗:試體			
南方松	60分鐘	32.8	34.0	斷面尺寸260 mm ×			
				203 mm			

(資料來源:木構造建築物設計及施工技術規範)

整理國內炭化率之相關研究,王松永教授與楊德新曾進行大斷面集成材燃燒炭化深度與炭化速率探討,使用杉木、柳杉、台灣杉、花旗松與南方松等樹種之集成元,製成兩種大斷面集成材,一種是由2英吋×6英吋(38×140mm)之框組壁製材集成元,七層膠合而成140mm×260mm(厚)大斷面集成材,另為2英吋×8英吋(38×203mm)之框組壁工法製材集成元,七層膠合成203mm×260mm(厚)之大斷面集成材,並且依照「CNS12514建築物構造部分耐火試驗法」進行30,45與60分鐘加熱試驗,集成材含水率約15%,每種條件重複5次,得到表2-3之結果。

表中可看出密度較小之杉木、柳杉與台灣杉集成材炭化速率約為 0.6-0.84mm/min 之間,而密度較大之花旗松與南方松集成材則炭化速率約在 0.53-0.69mm/min 之間。

州 孫	密度	加熱時間	炭化深	度(mm)	炭化速度	(mm/min)
樹種	(g/cm^3)	(min)	側邊	底部	側邊	底部
	0.40	30	21.3(2.6)	25. 2(4. 0)	0.71	0.84
杉木	0.41	45	26.8(3.6)	32.6(2.9)	0.60	0.72
	0.42	60	43.4(5.7)	46.0(4.9)	0.72	0.77
	0.45	30	22.8(2.6)	23.6(2.2)	0.76	0.79
柳杉	0.44	45	32.9(3.9)	35.0(2.8)	0.73	0.78
	0.46	60	42.1(3.3)	46.8(3.1)	0.70	0.78
	0.42	30	21.2(2.5)	21.8(2.1)	0.71	0.73
台灣杉	0.44	45	28.7(2.7)	31.9(2.9)	0.64	0.71
	0.41	60	45.4(5.4)	49.0(3.5)	0.76	0.82
	0.50	30	19.2(2.9)	20.8(2.0)	0.64	0.69
花旗松	0.50	45	26.4(2.8)	30.3(2.4)	0.59	0.67
	0.53	60	37. 4(4. 2)	37. 9(1. 6)	0.62	0.63
	0.52	30	17.0(2.0)	17. 2(0. 9)	0.57	0.57
南方松	0.54	45	23.8(2.1)	26. 2(2. 1)	0.53	0.58
	0.54	60	32.8(4.2)	34.0(1.6)	0.55	0.57
*括弧內為	為標準差					

(資料來源:楊德新博士論文)

(二) 國外規範

1. EU5所定義之炭化深度計算方式(2-1),可知針對實木及集成材之密度大於290 kg/m³,其炭化速率均可以表2-4之數值求得。

$$d_{c_har} = \beta_n t$$
 (2-1)

 $d_{c_har,n}$:炭化深度 βn :炭化速率 t:燃燒時間

表 2-4 EU5 針對實木及集成材之密度所訂定之炭化深度速率

Type of timber	β0 mm/min	β _n mm/min
Glued laminated timber with a characteristic density of >290 kg/m ³	0.65	0.7
Solid timber with a characteristic density of >290 kg/m ³	0.65	0.8

(資料來源:歐洲EU5規範)

2. 美國NDS亦對有效炭化深度之計算方式及炭化速率提出相對應之數值(2-2及表 2-5),提供炭化深度之基本設計方式。

$$\beta_{eff} = \frac{1.2\beta_n}{t^{0.187}}$$

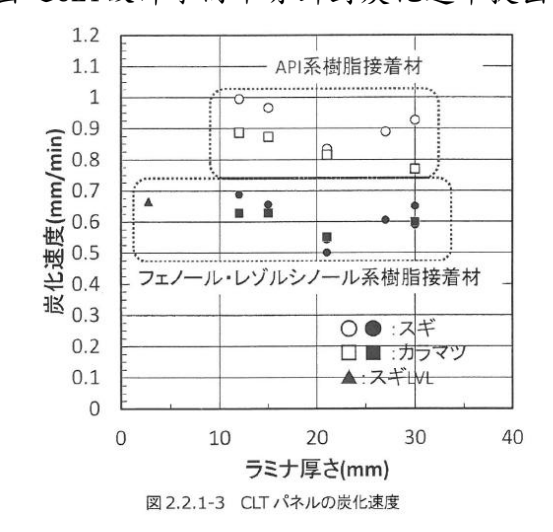
$$a_{char} = \beta_{eff}t = 1.2\beta_n t^{0.813}$$
 (2-2)

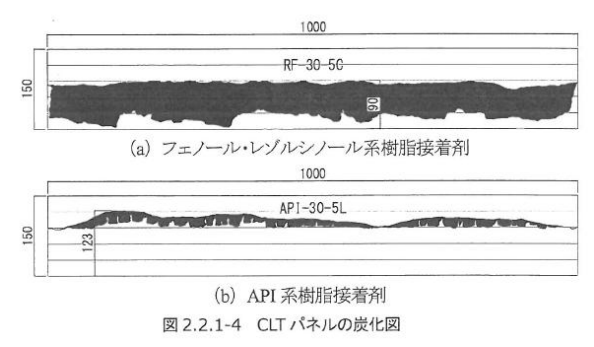
表 2-5 美國 NDS 所訂定之炭化深度速率

Required Fire Resistance	Effective Charring Rate, $oldsymbol{eta}_{eff}$ (in./hr)	Visual Char Layer Thickness (in.)	Zero- strength Layer (in.)	Effective Char Layer Thickness, a _{char} (in.)
45 min (¾-h)	1.90	1.19	0.24	1.42
60 min (1-h)	1.80	1.50	0.30	1.80
90 min (1½-h)	1.67	2.09	0.42	2.50
120 min (2-h)	1.58	2.64	0.53	3.16

(資料來源:美國NDS規範)

3. 日本於2016年推出之CLT設計手冊中亦針對炭化速率提出相對應之計算方式。





(資料來源:日本CLT用建築物設計與施工規範)

耐熱性較好-使用苯酚甲醛樹脂等作為接著劑的CLT樓板,炭化速率約為0.7mm/min。

耐熱性較差-使用API系樹脂作為接著劑的CLT樓板,炭化速率約為0.84~1mm/min。

4. 大陸 GBT 50708膠合木結構技術規範亦針對炭化速率和炭化層厚度提出相對應之計算方式。

$$\beta c = \frac{1.2\beta n}{t^{0.187}}$$
 (2-3)

 β_c :根據耐火極限t的要求確定的有效炭化速率(mm/h)。

βn:木材燃燒1.00h的名義線性炭化速率(mm/h),採用針葉材製作的膠合木構件 的名義線性炭化速率為38 mm/h。根據該炭化速率計算的有效炭化速率和有 效炭化層厚度應符合表2-6的規定。

t: 耐火極限(h)

表 2-6 有效炭化速率和炭化層厚度

構件的耐火極限t(h)	有效炭化速率βc (mm/h)	有效炭化層厚度T(mm)
0.50	52. 0	26
1.00	45. 7	46
1.50	42.4	64
2.00	40. 1	80

(資料來源:GBT 50708 膠合木結構技術規範)

第二節 耐火試驗

依據103年11月公布的CNS 12514-1「建築物構造構件耐火試驗法-第1部: 一般要求事項」進行加熱耐火試驗。

1. 加熱試驗

(1) 爐內溫度

爐內平均溫度應予以監測,使其符合下列關係式。

 $T=345 \log_{10} (8t+1) +20$

式中 T = 加熱爐內平均溫度 (°C)

t = 加熱時間(分)

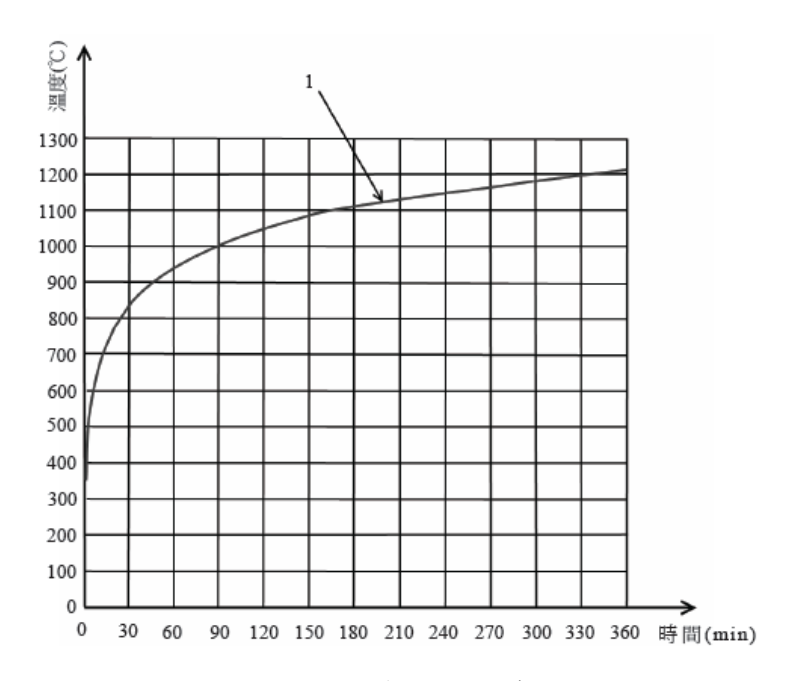


圖 2-1 標準升溫曲線 (資料來源: CNS 12514-1)

由規定的熱電偶所記錄的平均時間對溫度曲線下之面積,與標準時間對溫度曲線下之面積的偏差百分比(de)應在下列範圍內。

(1)
$$de \le 15\%$$
 5< t<10

(2) de=15-0.5 (t-10) %
$$10 < t \le 30$$

$$(3) de=5-0.083 (t-30) \% 30 < t \le 60$$

$$(4) de=2.5\%$$
 $60 < t$

$$d_{e} = \frac{A - A_{s}}{A_{s}} \times 100 \tag{2-4}$$

式中,

de :偏差百分比

A :實際實驗平均時間對溫度曲線下之面積

As :標準時間對溫度曲線下之面積

t :時間(min)

所有面積應以相同的方式計算,在(1)以不超過1分鐘的區間加總面積,在(2)、(3)、(4)以5分鐘的區間加總面積,且應從時間為零開始計算。

試驗開始 10 分鐘以後,爐內熱電偶所記錄的溫度不得與對應的標準時間曲線之溫度相差超過 100℃。對於含有顯著數量可燃材料之試體,當超出偏差可清楚地被鑑定初是由明顯數量可燃材料的突然引燃增加了平均爐內溫度,超出許可差時間不得持續超過 10 分鐘。

(2) 爐內壓力

- (a) 加熱爐內高度方向之氣壓分布大概呈線性梯度狀態,設定該壓力梯 度平均值為 8 Pa/m。
- (b) 爐內控制壓力的平均值,在試驗開始初期5分鐘應保持在±5Pa,至 10分鐘時須保持在±3Pa。

2. 加載試驗

對承重構造試體,試驗載重須在試驗開始之前至少15分鐘加載至試體, 並保持加載不變直至變形不再增加。接著在試驗過程中持續加載,載重仍 須保持不變,且當試體發生進一步變形時,加載系統應有即時反應能力, 以保持穩定之加載值; 亦即須具有補償試體最大容許變形之能力。

試驗開始前室內氣溫及試體之初始平均內部溫度及非加熱面溫度須在25±15℃範圍內,爐內溫度須小於50℃。試驗開始前5分鐘內,所有熱電偶之初始值須持續記錄並檢查一致性。試體之變形量測值及其他狀態亦須記錄。

3. 加熱試驗結束

試驗因下列原因得以終止。

- (1)達到設定指標:試驗中試體已超過性能基準,試驗得立即停止;或 試驗時間已達預定時間,亦得停止。試驗中試體發生失敗情況後, 為獲得額外的資料可繼續試驗。
- (2) 因人員安全或設備可能遭受破壞之因素,試驗須立即停止。
- (3) 因試驗委託人之要求,得停止進行試驗。

4. 性能基準

試體的防火性能應由下列適當之性能基準決定。此為試體 在試驗過程中維持支承試驗載重能力所經過的時間。試驗載重 的支承能力以變形量及變形速率兩者決定。

當超過以下兩項基準時視為破壞。

(a)對於撓曲構件。

最大撓曲量 ,
$$D = \frac{L^2}{400d} (mm)$$

且最大撓曲速率,
$$\frac{dD}{dt} = \frac{L^2}{9,000d}$$
 (mm/min)

式中,L:試體之淨跨度(mm)

d:試體構造斷面之壓縮側緣至拉伸側緣之距離(mm)

(b)對於軸向承載構件:

最大軸向壓縮量,
$$C = \frac{h}{100} (mm)$$

且最大軸向壓縮速率, $\frac{dC}{dt} = \frac{3h}{1000} (mm/min)$

式中, h: 為初始高度(mm)

第三節 木材高温特性與炭化理論

一、木材之高温特性

一般人們在評價木質系建築物之防、耐火性能時,首先考量者即是木材會燃燒這個問題,事實上,木材因是有機物質,所以本質上就會燃燒。因為會燃燒,故大多數人都有「木材對火之抵抗是較弱」的觀點,並不會進一步瞭解到木材燃燒產生之炭化層宛如防火被覆層保護著下面的健全木材。

像木材這種具多孔性炭層在火災中之熱解過程相當複雜。圖 2-2 為木材在熱解過程中之主要物理與化學現象。乾燥之木材會隨溫度增加而增加直至纖維開始降解。大約在 200-250℃,熱降解開始發生。揮發物包含可燃的混合氣體、水汽與焦油等,爾後,固體炭化層產生,其體積小於原來木材尺寸,而炭化層的爆裂

與裂縫的形成將會影響火焰與固體間熱與物質之轉換。揮發出之可燃氣體與表面 周遭之空氣混合,會再繼續進行燃燒。在此過程下,氧氣會於表面四散,而使炭 化層氧化,由於炭化層之收縮與氧化,將使燃燒過程減退。

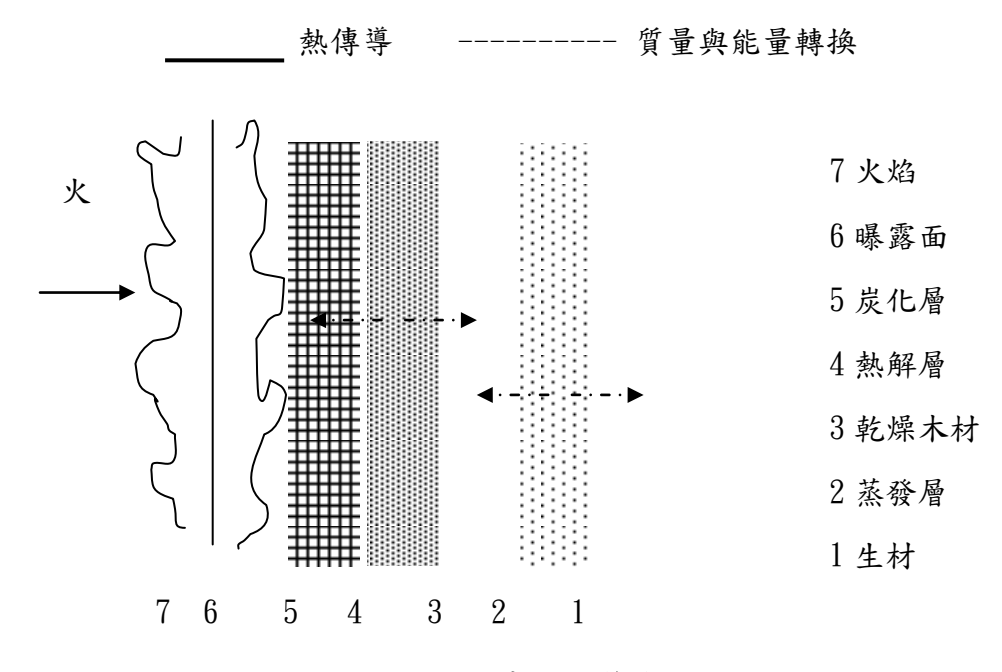


圖 2-2 木材熱解過程中熱與質量之轉換

(資料來源: Janssens, 2004)

在一般使用下,木材通常含有一定程度之含水率,當暴露在火災情況下,木材的温度將會上升至某一點使木材本身所含有之水率蒸散,由於木材水分會存在於細胞壁中,因此這些水分之蒸發需要比去除自由水需要更多的能量,且温度可能需超過100℃才會發生。即當木材被加熱時,首先會釋出所含有之水分,再經熱分解、發焰燃燒及赤熱燃燒以致毀損。當溫度超過100℃,木材即受熱分解,而溫度上昇至100-200℃之間時,木材之分解速率減緩,水氣蒸發出來且伴隨著一氧化碳與二氧化碳,此時木材便逐漸破壞或熱解。當溫度超過200℃時,熱解作用便很快產生,當溫度上昇至260-350℃時,熱解作用便加速,並產生一些可燃性氣體,這些氣體不僅可助燃,當溫度高實亦會自燃,一般而言,當溫度超過270℃時,熱量足以使可燃性氣體燃燒。簡言之,木材加熱時,從200℃附近會急速減低重量之同時會產生可燃性氣體,氧化結果在300℃附近會發生熱量。在此階段接近火口時會引火,因此被稱為引火點,日本之防火試驗是以260℃當作火災危險溫度,作為防火工學上之評價判定基準。更繼續加熱時,在500℃

附近會自然發火,殘留灰分而消滅。但是在缺乏氧氣狀態下,進行加熱時,會發生無氧化發熱之熱分解,而形成所謂的木炭。因此若只焦點放在所謂的「可燃燒」時,確實是可將木材視為其對於火之抵抗會較弱。但是,作為構造材料時,考量其對於熱所引起之強度減低,或火焰之遮斷性時,這樣的評價則並不一定正確。

二、大斷面木質材料之燃燒特性

木材在表面著火、燃燒時,在燃燒部分會形成炭化層。此炭化層會遮斷木材燃燒之必要氧氣之供給,同時具有將炭化層內層之健全部分從高溫加熱加以保護之斷熱性。另外,木材本身之熱傳導率低(只為混凝土之約 1/10),且木材既使為氣乾狀態亦含有相當多之水分,因此大斷面之木材燃燒時,燃燒至木材內部需要花相當長時間。

圖 2-3 為集成柱進行標準加熱溫度曲線加熱燃燒時,其內部溫度之變化。由 圖可知,木材表面既使受高溫加熱,木材之內部溫度也不容易上昇,尤其斷面之 中央部經過長時間大概可保持常溫狀態。

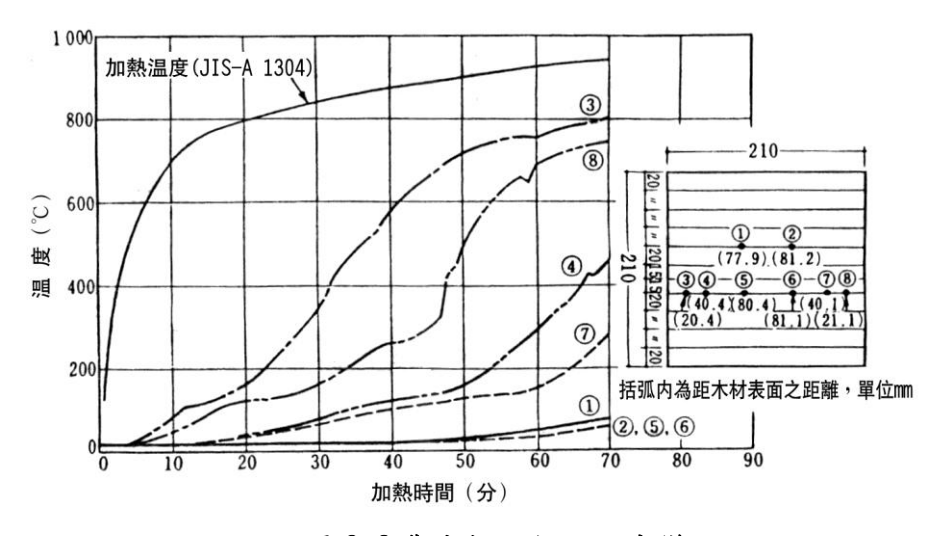
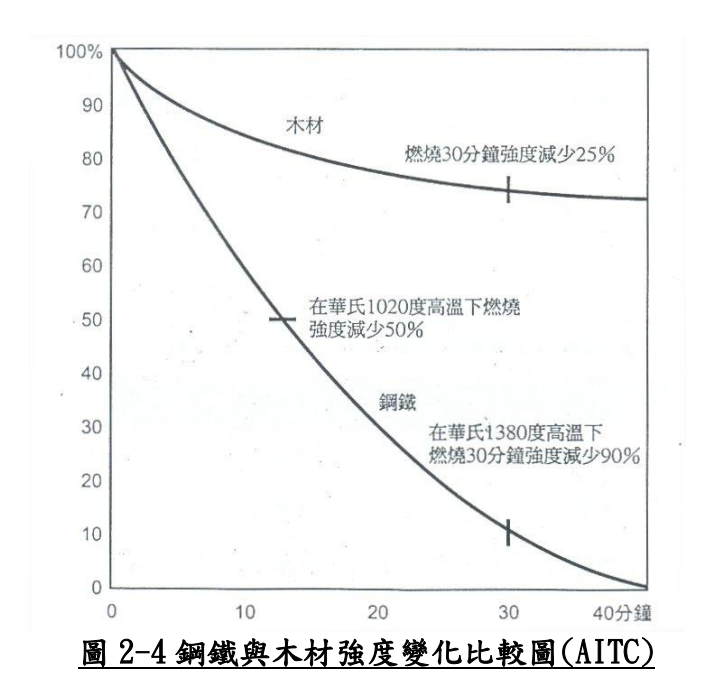


圖 2-3 集成柱內部之溫度變化

(資料來源:中村賢一與山田誠,1998)

由於集成材之耐火耐熱性良好,因此在燃燒 30 分鐘之後,集成材僅僅損壞 其外圍約 19 mm,而不似鋼筋會彎曲變形 (圖 2-4)。值得一提的是,大多數大 型之集成材在著火之後,其組織仍完好,仍然能支撐載重,故可防止建築物之變 形、崩壞,所以集成材構造被視為防火優異之構造。



(資料來源:內政部建築研究所,木構造防火技術規範與集成材炭化特性之研究)

木材經過火災加熱時,外層會產生炭化層,而炭化層之形成與炭化速度有關, 事實上,炭化速度在集成材之防火設計上相當重要,因為它決定了集成材的斷面 尺寸,以及集成材需要多少時間將降低至最低強度。

依據國外研究資料,在ASTM E119 標準火災試驗下,中密度針葉樹集成材的 炭化速率為 0.6 mm/min。而由 CAN/ULC S 101、ISO 834、BS 476:Part 20 所得 到之炭化速率亦大致相同,因為這些標準的溫度-時間曲線亦大致相似。國外以 往研究結果很多,以下列舉部分供參考。

在大斷面木材結構之火災安全設計上,Lie (1977)建議輕質乾燥的木材使用 0.8 mm/min 之炭化速率,中密度的針葉樹材使用 0.6 mm/min 之炭化速率,大斷面的含水材則使用 0.4 mm/min 之炭化速率。

Lawson et al (1952), Vorreiter (1956), Schaffer (1961), White (1988) 曾依據下式提出木材炭化之相關經驗模式。

$$\frac{\partial x}{\partial t} = \eta_1 t^n \tag{2-5}$$

 ∂x

其中 X 為炭形成位置 , ∂t 為炭形成之瞬間速率 , t 為時間 , η_1 與 η_2 為迴歸

常數,n 則決定於炭化速率隨時間之增加是增加 (n>0) 維持 (n=0) 或減少 (n<0) 。而這些經驗模式包含了木材特性如熱傳導性、密度、含水率等,表 1 比較了這些模式之差異。

日本方面亦很早即開始從事有關於集成材炭化速度之研究,井上嘉幸(1972) 將大斷面之集成材置入試驗用加熱爐,加熱 30 分鐘達到 840 ℃時,外圍部分之 炭化深度約為 2 cm,由於熱之炭化速度,平均每分鐘炭化 0.6-0.7 mm,如此斷 面尺寸之減少緩慢,故外圍雖經炭化,但內部尚能保持健全。中村賢一等(1985) 針對大斷面集成材樑進行燃燒試驗,指出椵松集成材之炭化速度為 0.55~0.60 mm/min。中村賢一與山田誠(1998)針對美國鐵杉集成材、日本柳杉集成材與日 本北海冷杉集成材進行燃燒試驗,指出其炭化速度分別為 0.58~0.77 mm/min、 0.55~0.63 mm/min 與 0.54~0.69 mm/min。左野敦子等(2001)針對構造用集成 材之炭化試驗指出,將試體置於 ISO 834 之標準加熱曲線所制訂之時間加熱,結 果柳杉集成材之炭化速度為 0.74-0.84 mm/min。

三、木材炭化理論

依據「CNS14651 建築物防火辭彙——般火災現象用語」中,對『炭化(char)』 之定義說明為在熱裂解或不完全燃燒期間形成炭樣物質之過程。炭化率可以定義 為單位時間所形成之炭化深度,一般稱之為炭化速度,常用的表示單位為 mm/min。

木材表面著火、燃燒時,在燃燒部分會形成炭化層。此炭化層會將木材燃燒 所必要的氧氣遮斷,同時炭化層具有斷熱性可保護內層之健全部分。木材燃燒後 炭化會從表面向內部進行速率稱為炭化速率,大斷面木材於標準加熱條件下所得 到的炭化速率約為 $0.6\sim0.8$ mm/min,炭化速率與加熱時間的乘積即為炭化深 度。

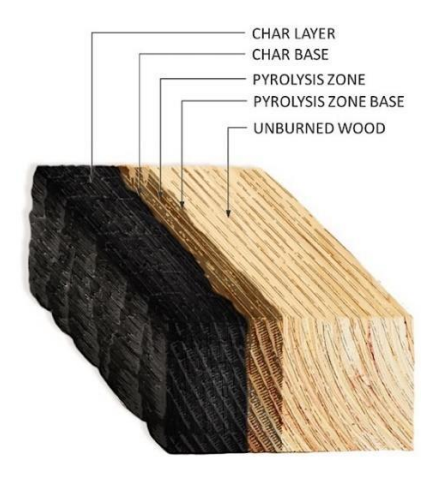


圖 2-5 木材燃燒炭化層

(資料來源:內政部建築研究所,木構造防火技術規範與集成材炭化特性之研究)

炭化深度可使用於評估木材構件受火害時之殘留斷面,以殘留斷面支持設計載重,防止構架倒壞。木材之炭化速度是除受加熱溫度條件影響外,亦與樹種、比重、含水率、斷面之大小等有關係。一般比重大之木材較難燃燒,而斷面愈大木材內部溫度上昇較慢,亦較難於燃燒,因此其炭化速度會較緩慢。

第四節 木材炭化率預估模式

木材炭化率預估模式,係藉由公式之計算,預估木材在燃燒時之炭化深度, 作為木構造結構設計之參考,在美國的木材製品大部分是規格化產品,因而著重 產品本身的耐火性能是否滿足防火時效規定。日本的作法則在木結構設計時,計 算木構材本身容許應力所需之斷面尺寸,並在該斷面外加一層炭化深度,確保木 構材滿足防火時效規定。

(一) 日本木材炭化率預估模式

當木材受到加熱燃燒時,依日本學者濱田稔之實驗研究,整理獲得表 2-7 之木材炭化速度預估模式。

表 2-7 日本炭化預估模式彙整表

背景條件與炭化預估模式	模式參數解釋	來源
在一定温度,無氣流中之加熱(採用氣乾木材)。		
★★: $x = 1.00(\frac{Q}{100} - 2.5)\sqrt{t}$ (2-6)	x = 炭化深度(mm)	
Q = 0.79(Q = 2.5) / t	t = 加熱時間(min)	濱田稔
松木: $x = 0.78(\frac{Q}{100} - 2.5)\sqrt{t}$ (2-7)	Q = 加熱溫度 (°C)	
檜木: $X = 0.6(\frac{Q}{100} - 2.5)\sqrt{t}$ (2-8)		
採用火災溫度標準曲線,在本生燈(Bunsen Burner)氣流中加		
熱。		
杉木: $x = 1.24(t-4)^{1.152}x \cdot \lambda^{-0.0384(t-4)}$ (2-9)	x = 炭化深度(mm)	\\\\\\\\\\\\\\\\\\\\\\\\\\\\\\\\\\\\\\
松木: $x = 1.35(t-4)^{1.338}x \cdot \lambda^{-0.0446(t-4)}$ (2-10)	t = 加熱時間(min)	濱田稔
檜木: $x = 1.24(t-4)^{1.140}x \cdot \lambda^{-0.038(t-4)}$ (2-11)		
惟 4≤t≤20,(時間限制在4-20分鐘範圍內)		

舉例說明,依公式(2-6)、(2-7)、(2-8)之計算,假設使用 CNS12514-1 加熱條件,時間設定 20、30、60 分鐘,加熱溫度分別為 781 度、842 度、945 度,計算結果詳如表 2-8。

樹種	加熱時間(分)	加熱溫度(℃)	炭化深度(mm)	炭化速度(mm/min)
	20	781	23. 75	1.19
杉木	30	842	32. 43	1.08
	60	945	53. 83	0.90
	20	781	18. 52	0. 93
松木	30	842	25. 29	0.84
	60	945	41.99	0.70
	20	781	14. 25	0.71
檜木	30	842	19. 46	0.65
	60	945	32. 30	0.54

表 2-8 日本炭化預估模式計算結果表

而依公式(2-9)、(2-10)、(2-11)之計算,依資料來源說明,當燃燒時間為20分鐘時,杉木炭化深度34mm,松木炭化深度20mm,檜木炭化深度為19mm。

(二) 美國木材炭化率預估模式

木材炭化率預估模式,其加熱條件採 ASTM E119 標準溫度—時間曲線,依公式(2-12)進行計算,炭化係數則依公式(2-13)計算。

μ=木材含水率(%)

 $f_c =$ 木材炭化減少率(加熱後的炭化層厚度除以炭化木材原本的厚度)

透過以上公式(2-13)的計算,代入公式(2-12),即可求得木材之炭化深度。

第三章 研究方法及實驗規劃 第一節 研究方法

木材遇火容易被引燃,是為易燃材料,因而不易被接受用於防火構件,實際上木材在溫度達到 250 ℃以上時,木材才會燃燒(木材發火點約在 260-275 ℃)。一旦木材著火,表面著火層會形成一層炭化層,炭化層將木材與外界火勢隔離。以一場持續 30 分鐘的火災中膠合集成材耐火性為例,每受火表面只有幾毫米因炭化而損失,在此炭化層的保護下,只會緩緩地產生強度的損失,絕大部分原始的橫斷面則完整無損。目前國際間標準加熱溫度曲線有 ISO 834-1,我國使用之CNS12514-1 加熱曲線係依照 ISO 834-1 進行,所以本研究預計採用國內 CNS 12514-1 之加熱溫度曲線,進行 2 組 CLT 樓板及 2 組 CLT 牆板之耐火實驗,探討做為驗證所需。實驗試體使用 5 層 15cm 日本扁柏 CLT(符合 JAS 規定)及 5 層 12cm 日本扁柏加柳杉(符合 JAS 規定)分別進行樓板及牆各 1 小時及 2 小時之耐火實驗。CLT 實驗試體經耐火試驗後,進行炭化層之刮除以確認炭化深度及炭化速率。

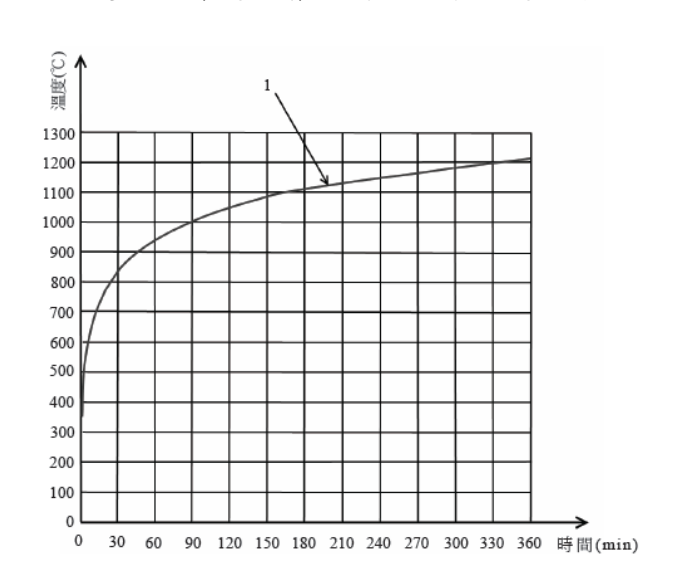


圖 3-1 CNS 12514-1、ISO 834-1 加熱溫度曲線

(資料來源:CNS 12514-1)

CLT 實驗試體加熱面經清除炭化層後所殘留之結構斷面,以每 10cm 距離量 測其縱向及橫向炭化深度值,將量測之炭化深度及炭化速率結果,以日本木材炭 化率預估模式,係藉由公式之計算,與實際實驗後所得到之炭化深度交叉比對分 析,利用實驗數據與預估模式之相關係數討論公式預估之準確性,並提出國內炭 化深度設計值,以供未來規範修訂時之參考。

第二節 實驗試體規劃設計

本研究主要使用內政部建築研究所防火實驗中心之小型多功能加熱試驗爐 試驗設備,主要針對建築物防火構造及防火設備之耐火性能研究實驗設施。



圖 3-2 小型多功能加熱試驗爐

(資料來源:本研究整理)

一、試體設計

- 1. 試驗時間:加熱1 小時及 2 小時試驗。
- 2. 試體整體尺寸設計:(1)CLT樓板為1.4m×1.6m;
 - (2)CLT牆為1.1m×0.6m。
- 3. 試體厚度:(1)CLT樓板集成元層數為5層,每層厚度3cm,總厚度為15cm;
 - (2)CLT牆集成元層數為5層,每層厚度2.4cm,總厚度為12cm。
- 4. 組成材料:實木板製作之直交集成板,膠合劑為水性高分子異氰酸脂。
- 5. 以實木板料(集成元)相鄰排放,於上方佈膠之後再鋪上與前一層呈90度的實木板料,共分有3、5、7、9層的直交集成板,可依需求生產最寬3000mm,長度最大12000mm之各種尺寸,厚度120~300mm的樓板,並以模組化的方式安裝。

二、試體規劃

實驗試體預計進行 2 組 CLT 樓板及 2 組 CLT 牆板之耐火實驗,實驗試體使用 5 層 15 cm 日本扁柏 CLT(符合 JAS 規定)及 5 層 12 cm 日本扁柏(上、下外層)+ 柳杉(內層)(符合 JAS 規定)分別進行樓板及牆各 1 小時及 2 小時之耐火實驗,其 材料基本性質詳列如表 3-1。

表 3-1 CLT 之材料基本性質

項目	日本扁柏CLT(15cm,5層)	日本扁柏(上、下外層)+柳 杉(內層)CLT(12cm,5層)
密度(g/cm³)	0.49	0.49
含水率(%)	11.5	11.5
抗彎強度(MPa)	37. 4	37. 4
抗彎彈性模數(GPa)	8. 7	8. 7
膠合剪力(MPa)	3.8±0.9	3.8±0.9
木破率(%)	100±0	100±0

實驗試體總計有4組,材料之組構如試體規劃表,如表3-2所示。

表 3-2 CLT 樓板及牆耐火性能實驗試體規劃表

試體編號	CLT 板材	層數	每層厚度 (cm)	總厚度 (cm)	試體尺寸 (cm)	膠合劑
CLT-R1	樓板	5	3	15	160×140	水性高分子
CLT-R2	樓板	5	3	15	160×140	水性高分子
CLT-W1	牆	5	2. 4	12	110×60	水性高分子
CLT-W2	牆	5	2. 4	12	110×60	水性高分子

(符合日本 JAS 2013 年 12 月 20 日頒布的"直交集成板の日本農林規格"規定)



圖 3-3 CLT 樓板及牆試體

三、實驗條件設定

1. 實驗試體測溫點位置佈設

樓板及牆試體非加熱面測溫點佈設參照CNS 12514-1第8.1.2 節規定水平或垂直分隔構造之試驗,非加熱面溫度測點數量不得少於5個,其中1個位於試體中心,以及試體四等分面積中心如圖3-4所示,另距試體中心位置右側5公分處佈設7測溫點,每間隔15mm鑽孔埋設熱電偶測溫點,分成第5層(靠近火源層)測溫點T-1-1,第5層中間處測溫點T-1-2,第4層與第5層膠合處測溫點T-1-3,第4層中間處測溫點T-1-4,第3層與第4層膠合處測溫點T-1-5,第3層中間處測溫點T-1-6,第2層與第3層膠合處測溫點T-1-7,針對CLT板材橫截面佈設測溫點,以測量炭化前到達每一層的膠合處及中間處所需的時間如圖3-5所示。利用7mm的鑽孔器,用綁線的方式標示出鑽孔深度後,開始依序鑽孔;鑽孔後放入些許木屑,避免防火膠包覆測溫端部,造成量測阻礙,最後再灌入防火膠填塞。所有熱電偶之測點應避免安置距熱橋、結點、搭接及貫穿接合處,以及螺栓或螺釘等固定件之位置50mm以內,還有可能使熱電偶暴露於穿越試體熱氣直接影響之位置。試體非曝火面熱電偶不應設置於距離試體邊緣100mm以內的位置。

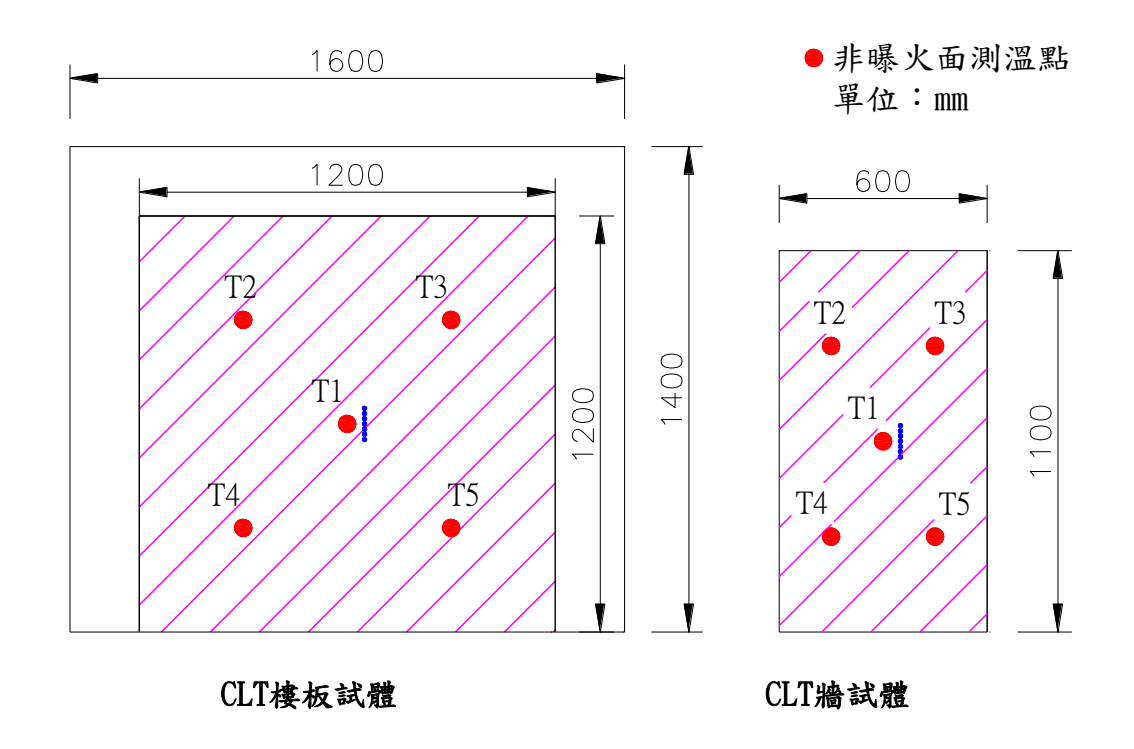


圖 3-4 實驗試體測溫點佈設位置示意圖

(資料來源:本研究繪製)

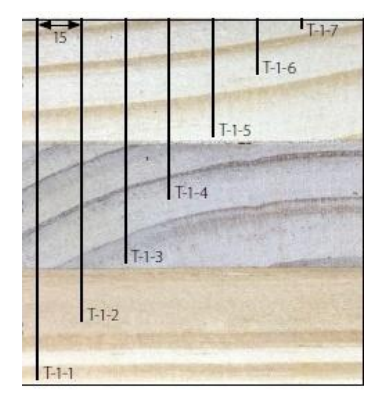


圖 3-5 CLT 板材橫截面熱電偶佈設示意圖

(資料來源:本研究規劃)

2. 實驗加熱條件設定

(1) 加熱條件:

實驗之加熱溫度參考 CNS 12514-1 第 6 節之規定內容,時間為 1 小時及 2 小時。

加熱試驗時爐內溫度由 CNS 12514-1 中規定熱電偶所得之爐內平均溫度如 圖 3-1 應予以監測,使其符合下列關係式。

 $T=345 \log 10 (8t+1) +20$

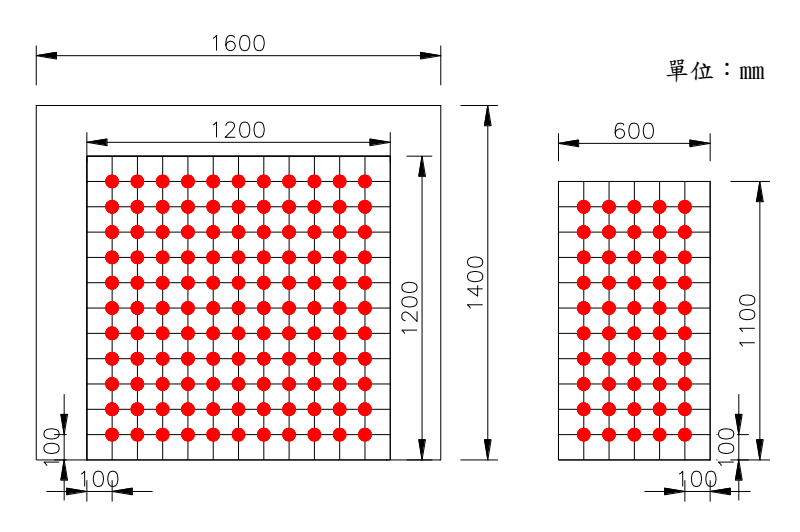
式中 T = 加熱爐內平均溫度(℃)

t = 加熱時間(分)

- (2) 爐內壓力設定: 樓板為20 Pa、牆為5 Pa。
 - a. 加熱爐內高度方向之氣壓分布大概呈線性梯度狀態,雖然此壓力梯度會因為爐內溫度的改變稍有變化,但在評估爐內壓力狀態時,可假設該壓力梯度平均值為 8 Pa/m。
 - b. 在特定高度的爐內壓力值應為標稱平均值,不考慮紊流等相關因素所造成的壓力不穩定波動,且以相對於爐外相同高度的壓力值表示。爐內控制壓力的平均值應依據 CNS 12514-1 9.4.2 執行監視,在試驗開始初期 5 min應保持在±5 Pa,至 10 min 時須保持在±3 Pa。
 - c. 垂直構件,原則上從試體底端起 500 mm 高度處之壓力值應為零(中性壓力面);但試體最頂端壓力不得大於 20 Pa,因此壓力平面的高度應隨之調整。
 - d. 水平構件,爐內壓力應於是體下方 100 mm 或測試梁構件時應於天花板水 平面下方 100 mm,其控制壓力應為 20 Pa。

3. 炭化深度量測方式

CLT實驗試體經耐火試驗後,進行炭化層之刮除以確認炭化深度及炭化速率。 CLT實驗試體加熱面經清除炭化層後所殘留之結構斷面,以每100mm 距離量測其 縱向及橫向炭化深度值如圖3-6,其厚度量測設備如圖3-7及圖3-8 雷射測距儀 所示,即可得知平均炭化深度值(mm)及平均炭化速率值(min/mm)。



<u>圖 3-6 炭化深度量測位置示意圖</u> (資料來源:本研究繪製)



<u>圖 3-7 厚度量測設備</u> (資料來源:本研究整理)



<u>圖 3-8 雷射測距儀</u> (資料來源:本研究整理)

第四章 實驗結果與分析

第一節 CLT 樓板與牆實驗結果與分析

CLT 樓板與牆實驗試體規劃係依據 3-2 節設計,參考「CNS12514-1 建築物構造構件耐火試驗法—第 1 部:一般要求事項」相關樓板與牆構造部分之試驗規定,並依規範中標準加熱溫度—時間曲線作為樓板與牆試體之加熱條件,進行CLT 木構造樓板與牆之耐火實驗,加熱實驗後量測其炭化深度與炭化速率值。

一、實驗程序

1.實驗開始

室內氣溫須在(25±15)℃範圍內。試驗開始前 5 min 內,所有熱電偶之初始 值須持續記錄並檢查一致性。試體之變形量測值及其他狀態亦須記錄。

試驗開始之際,試體之初始平均內部溫度及非加熱面溫度須為(25±15)℃。

開始試驗前,爐內溫度須小於 50 °C。當溫度控制程式依循標準加熱曲線開始之際即視為試驗開始。從該點時間起量測經過時間,所有手動及自動量測以及觀察系統須開始進行。

2. 量測與觀察

- (1) 依 CNS 12514-1 之規定,監控試體遮焰性及阻熱性,並進行相關的量測及觀察。
- (2)除移動式熱電偶以外,所有固定之熱電偶在試驗期間應每隔不超過1分鐘即量測一次。移動式熱電偶之量測,如溫度在20秒量測時間內未達150℃,則須持續量測。
- (3) 爐內壓力之量測及記錄應在監控點連續或每隔不超過 5 分鐘間隔進行一次。
- (4) 一般性觀察有關試體構材之變形、裂開、熔化、軟化、剝落、炭化等 現象均須記錄,另從非加熱面逸出之煙狀亦須記錄。



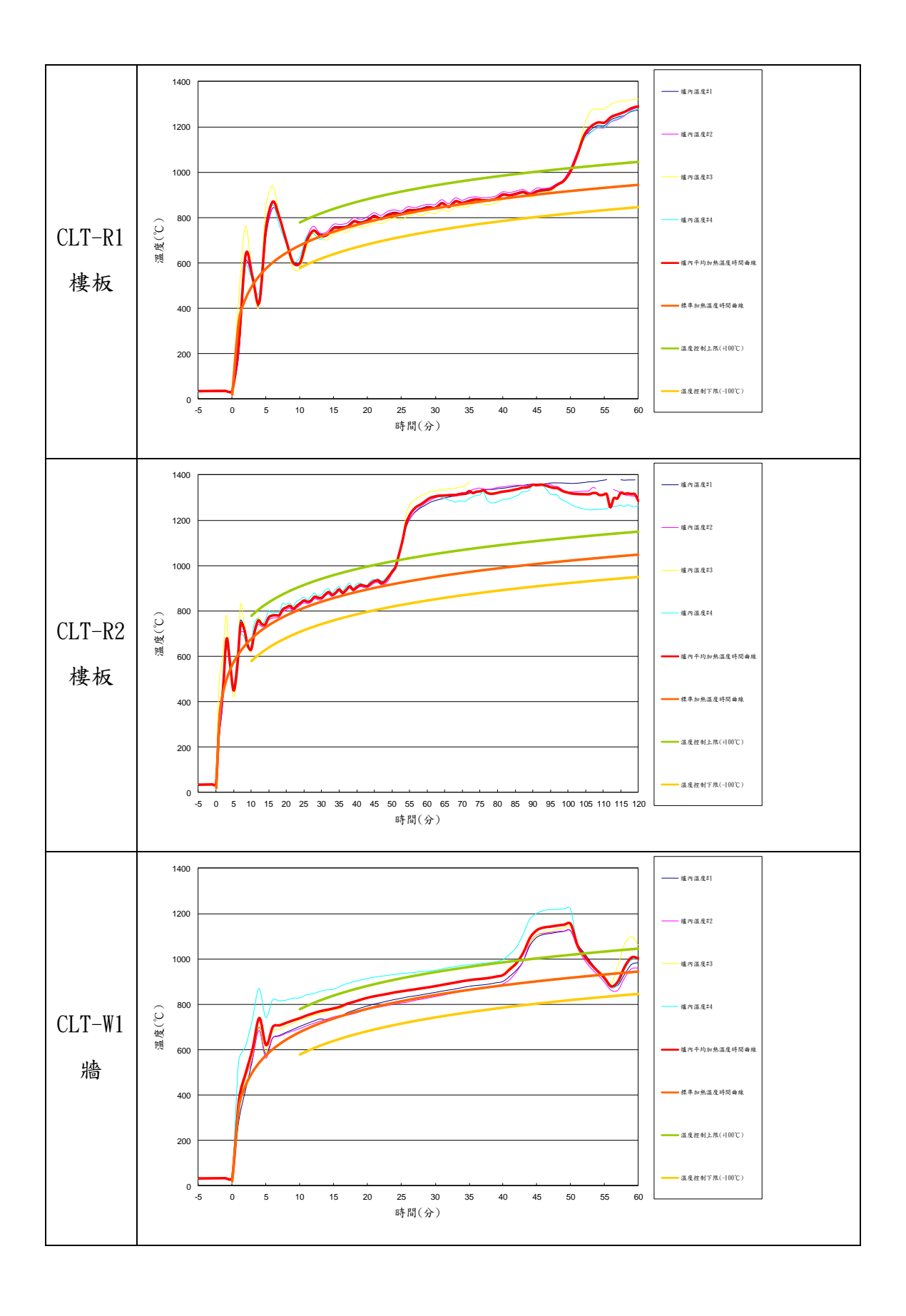
<u>**圖 4-1 樓板與牆非曝火面熱電偶及內部溫度(T1~T5、T-1-1~T-1-7)位置圖</u>**(資料來源:本研究整理)</u>

二、實驗結果整理

CLT 樓板及牆加熱實驗後,經清除炭化層後所殘留之結構斷面,以每 10cm 距離量測其縱向及橫向炭化深度值,其炭化深度與炭化速率實驗結果如表 4-1 所 示,試體爐內溫度與非加熱面溫度及試體內部溫度曲線圖如圖 4-2 及圖 4-3 所 示。

表 4-1 CLT 樓板及牆炭化深度與炭化速率實驗結果表

試體編號	CLT 板材	層數	每層厚 度(cm)	加熱時 間(min)	炭化深度 (mm)	炭化速率 (mm/min)	備註
CLT-R1	樓板	5	3	60	64. 0	1.07	
CLT-R2	樓板	5	3	120	_	_	樓板加熱後僅剩一 層板材,且有破洞脫 落無法量測。
CLT-W1	牆	5	2. 4	60	62. 7	1.05	
CLT-W2	牆	5	2. 4	90	97. 1	1. 62	加熱至 90 min 時試 體非加熱面起火,終 止加熱。



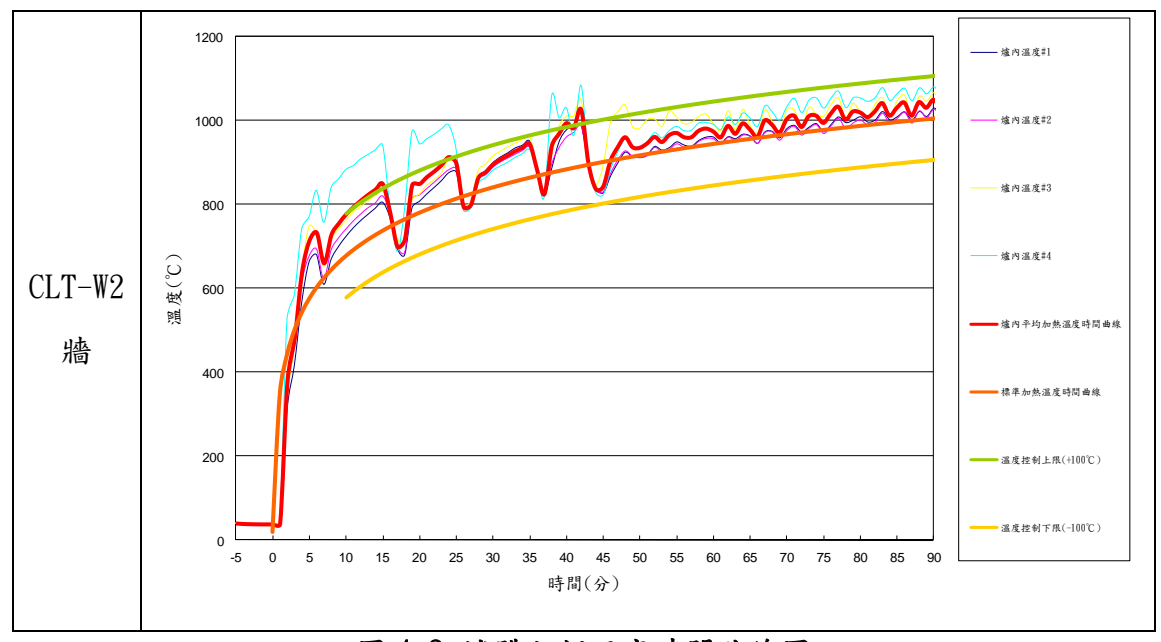
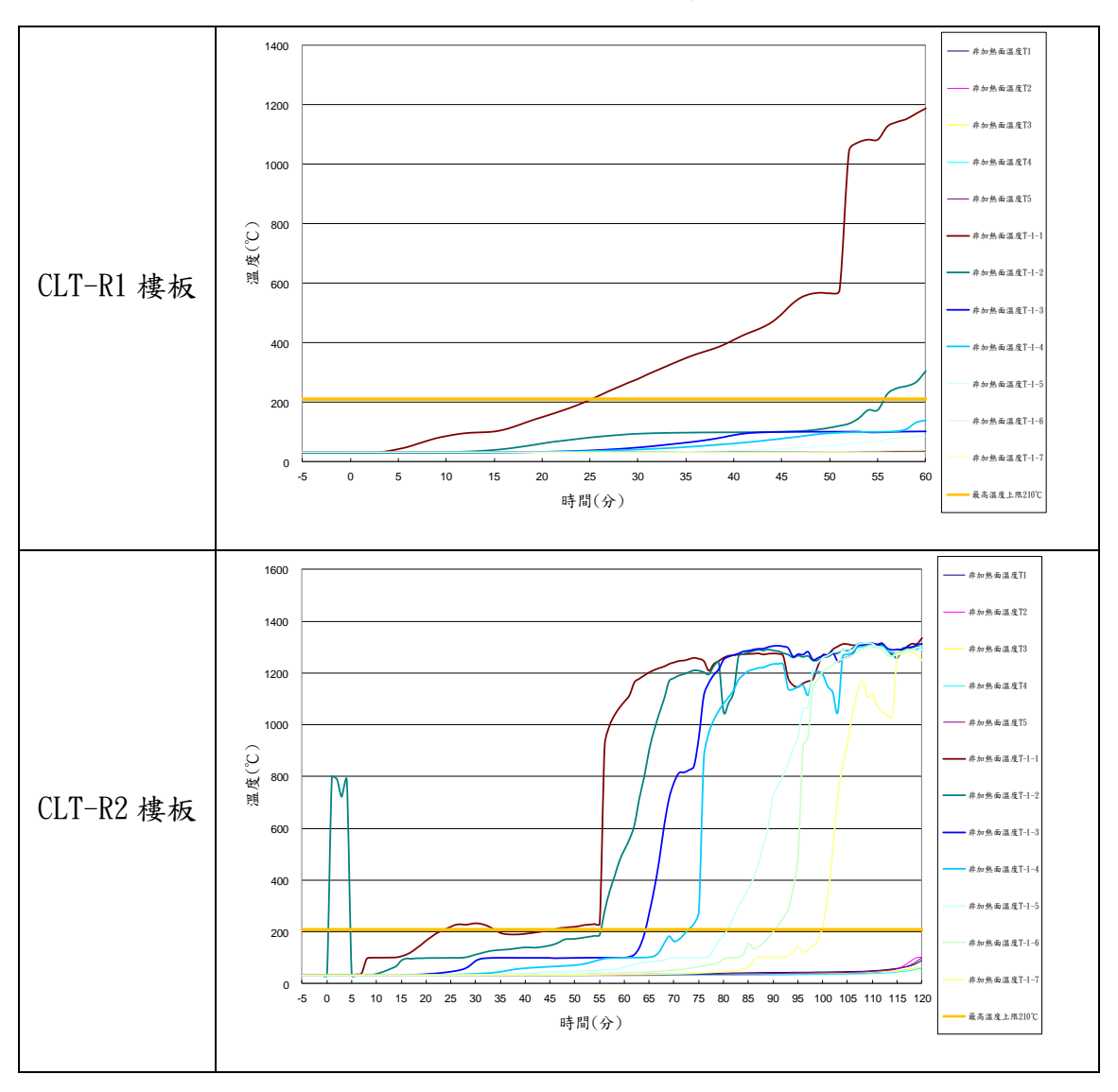


圖 4-2 試體內部溫度時間曲線圖

(資料來源:本研究繪製)



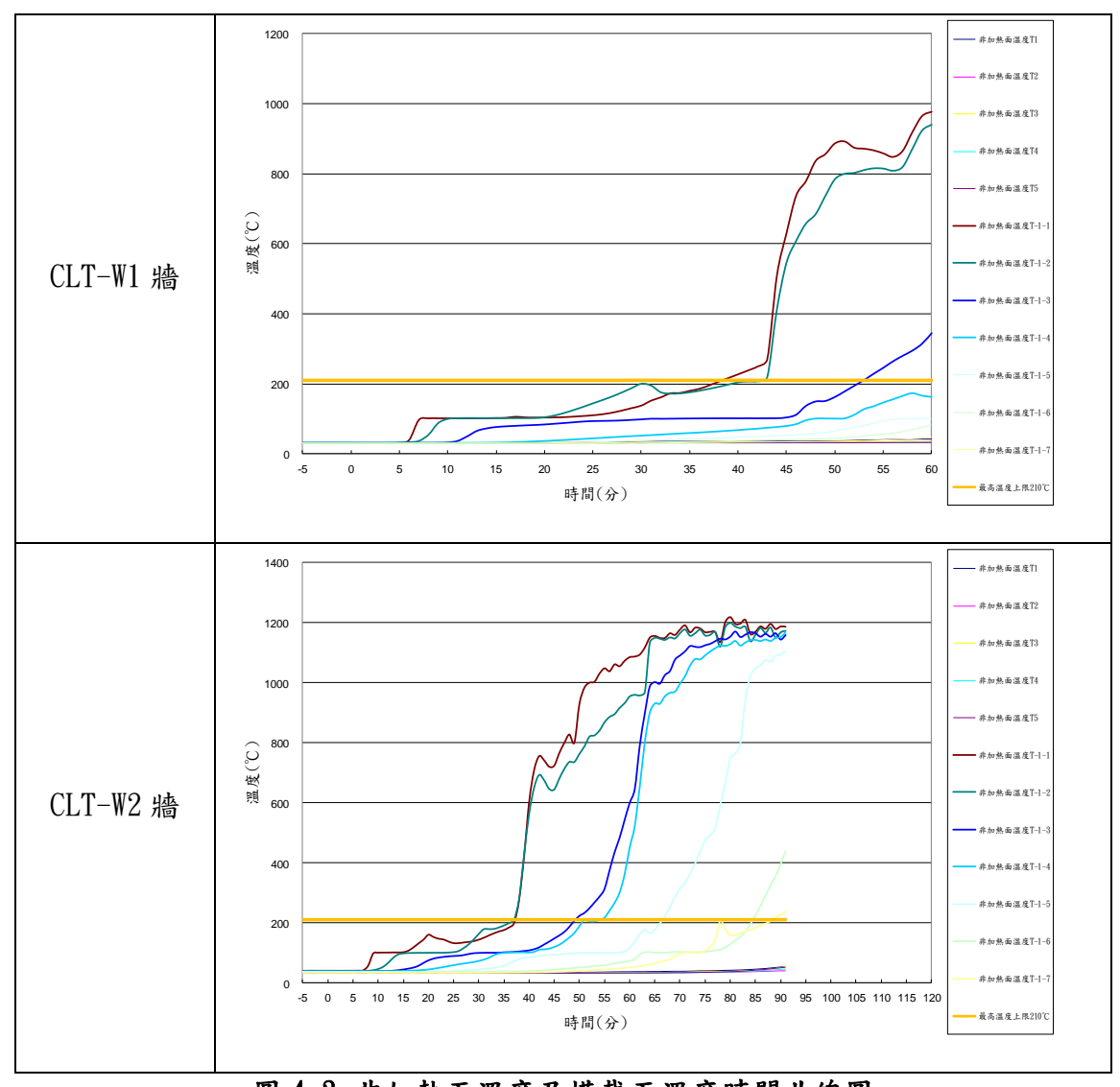


圖 4-3 非加熱面溫度及橫截面溫度時間曲線圖

(資料來源:本研究繪製)

1. CLT 板材加熱結果探討

CLT 樓板經加熱實驗後由爐內溫度顯示加熱 1 分鐘後 CLT 板材隨即起火劇烈燃燒,經過 5~10 分鐘後第一層板材產生炭化層,燃燒現象趨緩,實驗經過約 48 分鐘時第二層開始起火燃燒,52~55 分鐘時第一層炭化層脫落,此時加熱爐內已經累積 CLT 板材大量的可燃物火載量,因劇烈燃燒導致 CLT-R1 及 CLT-R2 於 55 分鐘後爐內溫度快速上升至高達 1300℃左右,已超過 CNS 12514-1 標準加熱曲線溫度值,此時亦加速炭化深度及炭化速率,而試體 CLT-R2 經加熱 2 小時後原有 5 層板材亦僅剩一層板材。

由非加熱面溫度量測點 T1~T5 顯示 CLT 板材具有良好的阻熱性能,溫度維持在 35~103℃左右,試體 CLT-R1 的內部溫度 T-1-1 顯示 52 分鐘時因第一層炭化

層脫落,測溫線直接曝火導致溫度急速上升 1000℃以上,試體 CLT-R2 的內部溫度 T-1-1 顯示 55 分鐘時因第一層炭化層脫落,試體內部溫度測溫線直接曝火導致溫度急速上升至1000℃以上,內部溫度測溫線 T-1-2 亦於 68 分鐘後溫度上升。

CLT 牆經加熱實驗後由爐內溫度顯示加熱 1 分鐘後 CLT 板材隨即起火劇烈燃燒,經過 4~8 分鐘後第一層板材產生炭化層,燃燒現象趨緩,實驗經過約 40 分鐘時第二層開始起火燃燒,37~43 分鐘時第一層炭化層脫落,此時加熱爐內已經累積 CLT 板材大量的可燃物火載量,因劇烈燃燒導致 CLT-W1 於 45 分鐘後爐內溫度快速上升至高達 1100℃左右,已超過 CNS 12514-1 標準加熱曲線溫度值,此時亦加速炭化深度及炭化速率,而試體 CLT-W2 因板材的不確定性因素導致爐內溫度忽高忽低,但均在標準加熱曲線上、下限範圍內,經加熱 1 小時 30 分後因非加熱面起火燃燒影響試驗設備及人員安全,立即終止加熱。

由非加熱面溫度量測點 T1~T5 顯示 CLT 板材具有良好的阻熱性能,溫度維持在 33~56℃左右,試體 CLT-R1 的內部溫度 T-1-1 顯示 43 分鐘時因第一層炭化層脱落,測溫線直接曝火導致溫度急速上升 900℃以上,試體 CLT-R2 的內部溫度 T-1-1 顯示 37 分鐘時因第一層炭化層脫落,試體內部溫度測溫線直接曝火導致溫度急速上升至 1000℃以上,內部溫度測溫線 T-1-2 亦於 37 分鐘後溫度上升。

2. 實驗結果原因探討

本研究實驗試體 CLT-R1 及 CLT-R2 尺寸 160×140cm,因採水平加熱方式溫度蓄積於試體加熱面底部,且 CLT 板材可燃物火載量大,因小型多功能爐排氣口位於底部排氣功能略顯不足,使得試體於 55 分鐘後加熱溫度均高於標準加熱溫度,炭化深度與炭化速率快速增加,試體 CLT-R2 於 55 分鐘後以高於標準溫度持續加熱,導致樓板加熱 2 小時後僅剩一層板材,且有破洞脫落對炭化深度及炭化速率無法量測;實驗試體 CLT-W1 及 CLT-W2 尺寸 110×60cm,亦因加熱爐排氣功能原因,使得試體 CLT-W2 於加熱 90 分鐘後因加熱面起火燃燒終止加熱,由實驗結果原因分析試體尺寸應縮減,樓板試體縮減為 160×30cm,牆試體縮減為 110×30cm,對於加熱 1 小時可滿足標準溫度加熱條件,但對於加熱 2 小時則須進一步實驗探討。

試體 CLT-R1 加熱 1 小時後炭化深度為 64mm,炭化速率為 1.07mm/min;試體 CLT-W1 加熱 1 小時後炭化深度為 62.7mm,炭化速率為 1.05mm/min;試體 CLT-W2

加熱 1 小時 30 分後炭化深度為 97.1mm,炭化速率為 1.62mm/min,本研究經實驗驗證其炭化深度與炭化速率理論值與實際實驗結果明顯有落差。



<u>圖 4-4 試體 CLT-R1 棲板實驗過程照片</u> (資料來源:本研究整理)



圖 4-5 試體 CLT-R2 樓板實驗過程照片

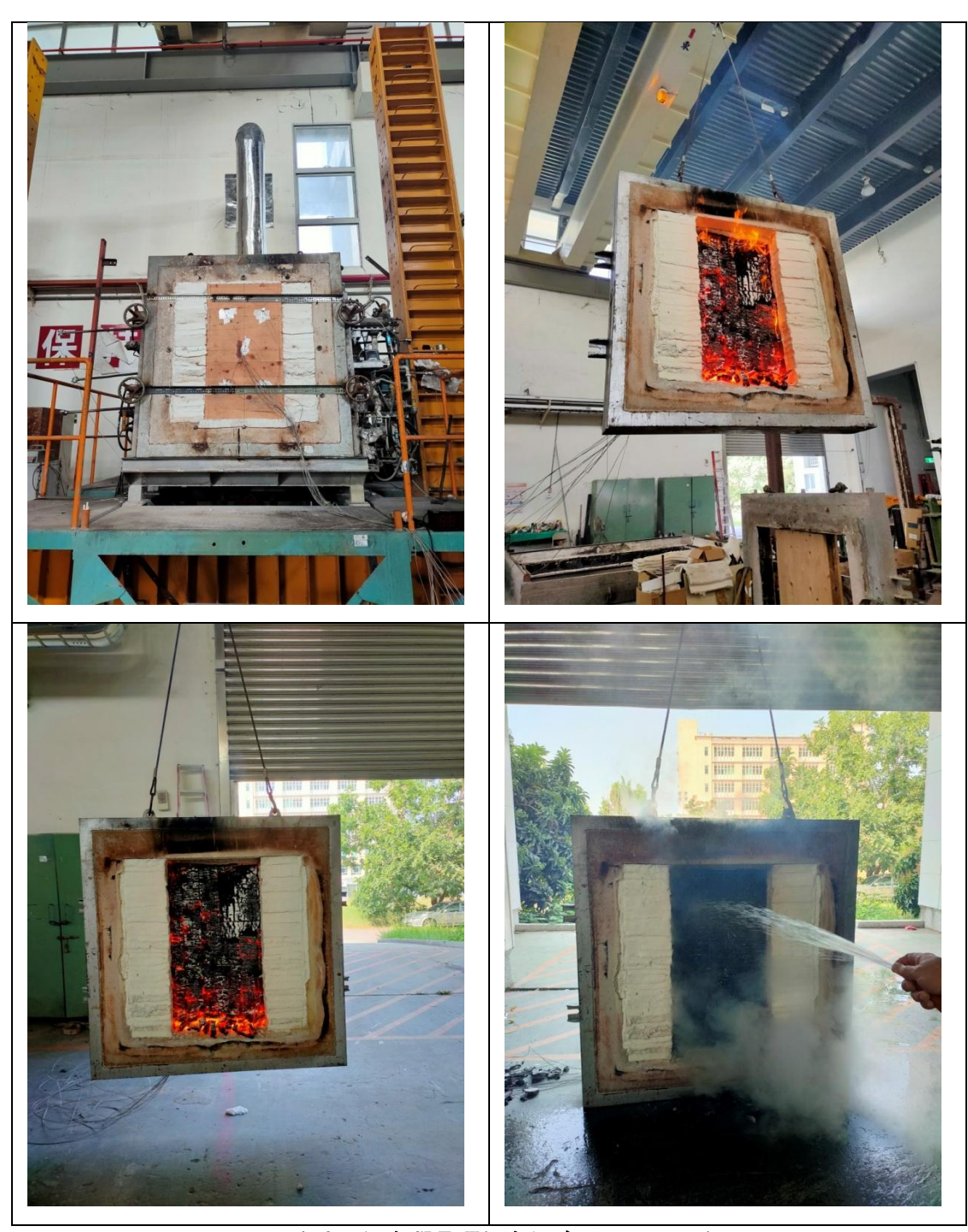


圖 4-6 試體 CLT-W1 樓板實驗過程照片 (資料來源:本研究整理)



圖 4-7 試體 CLT-W2 樓板實驗過程照片

第二節 炭化深度與炭化率分析

本研究採用 CNS 12514-1 標準加熱溫度曲線,實驗加熱溫度曲線大致符合標準加熱溫度曲線,實驗加熱 1 分鐘以及第 45 分鐘、第 55 分鐘後,實驗加熱溫度曲線高於溫度控制上限值,因試體 CLT-R2 加熱後僅剩一層板材,且有破洞脫落對炭化深度及炭化速率無法量測,僅針對試體 CLT-R1、CLT-W1 及 CLT-W2 進行炭化深度與炭化速率分析。

依日本木材炭化率預估模式,當木材受到加熱燃燒時,日本學者濱田稔之實 驗研究之木材炭化速度預估模式公式如(2-8)。

檜木:
$$X = 0.6(\frac{Q}{100} - 2.5)\sqrt{t}$$
(2-8)

將本研究實驗結果最高加熱溫度及加熱時間代入公式中,得到以下炭化速度 預估值:

試體 CLT-R1:

炭化深度預估值為 0.6((1290.9/100)-2.5)x7.75=48.4mm,

炭化速率預估值為 48. 4/60=0. 81mm/min

試體 CLT-W1:

炭化深度預估值為 0.6((1060.3/100)-2.5)×7.75=37.7mm,

炭化速率預估值為 37.7/60=0.63mm/min

試體 CLT-W2:

炭化深度預估值為 0.6((1050.8/100)-2.5)x9.5=45.6mm,

炭化速率預估值為 45.6/60=0.76mm/min

由上述計算結果可知加熱爐內溫度越高其炭化深度越大,相對炭化速率亦會加速。日本 CLT 設計手冊對炭化速率規定值為 0.6~0.7mm/min 及 0.84~1mm/min 兩種,而 1 小時之炭化深度約為 42mm~60mm 左右,加熱實驗結果計算後之預估值符合日本 CLT 設計手冊規定。

本研究實驗試體 CLT-R1、CLT-W1 及 CLT-W2 加熱實驗後加熱面經清除炭化層後所殘留之結構斷面如圖 4-10,以每 10cm 距離量測其縱向及橫向炭化深度值,將量測之炭化深度及炭化速率結果整理如表 4-2 及表 4-3。

表 4-2 CLT-R1 樓板炭化深度量測結果

量測點		Γ-R1樓板	量測點	CLT	'-R1樓板
里測點	炭化深度(mm)	炭化速率(mm/min)	里測粒	炭化深度(mm)	炭化速率(mm/min)
1	60	1.00	62	66	1.10
2	59	0.98	63	62	1.03
3	58	0.97	64	65	1.08
4	63	1.05	65	61	1.02
5	67	1.12	66	63	1.05
6	68	1.13	67	64	1.07
7	72	1.20	68	61	1.02
8	70	1.17	69	67	1.12
9	69	1.15	70	62	1.03
10	68	1.13	71	63	1.05
11	68	1.13	72	62	1.03
12	69	1.15	73	63	1.05
13	67	1.12	74	63	1.05
14	64	1.07	75	66	1.10
15	62	1.03	76	63	1.05
16	64	1.07	77	63	1.05
17	68	1.13	78	71	1.18
18	72	1.20	79	69	1.15
19	73	1.22	80	68	1.13
20	69	1.15	81	63	1.05
21	64	1.07	82	63	1.05
22	64	1.07	83	66	1.10
23	68	1.13	84	63	1.05
24	61	1.02	85	69	1.15
25	63	1.05	86	67	1.12
26	58	0.97	87	66	1.10
27	62	1.03	88	65	1.08
28	63	1.05	89	70	1.17
29	66	1.10	90	69	1.15
30	66	1.10	91	65	1.08
31	66	1.10	92	63	1.05
32	67	1.12	93	65	1.08
33	64	1.07	94	63	1.05
34	62	1.03	95	63	1.05
35	65	1.08	96	58	0.97
36	62	1.03	97	62	1.03
37	61	1.02	98	61	1.02
38	64	1.07	99	62	1.03
39	67	1.12	100	69	1.15
40	63	1.05	101	67	1.12
41	64	1.07	102	65	1.08
42	63	1.05	103	59	0.98
43	62	1.03	104	64	1.07
44	63	1.05	105	61	1.02
45	67	1.12	106	62	1.03
46	63	1.05	107	61	1.02
47	61	1.02	108	62	1.03
48	58	0.97	109	63	1.05
49	60	1.00	110	61	1.02
50	64	1.07	111	64	1.07
51	64	1.07	112	64	1.07
52	65	1.08	113	65	1.08
53	69	1.15	114	59	0.98
54	62	1.03	115	65	1.08
55	61	1.02	116	64	1.07
56	67	1.12	117	61	1.02
57	68	1.13	118	62	1.03
58	66	1.10	119	58	0.97
59	60	1.00	120	56	0.93
60	60	1.00	121	56	0.93
61	63	1.05			

表 4-3 CLT-W1 及 CLT-W2 牆炭化深度量測結果

	CLT-W1牆		是出廊上 CLT-W2牆		
量測點	炭化深度(mm)	炭化速率(mm/min)	量測點	炭化深度(mm)	炭化速率(mm/min)
1	61	1.02	1	78	1.30
2	60	1.00	2	90	1.50
3	59	0.98	3	97	1.62
4	57	0.95	4	92	1.53
5	58	0.97	5	99	1.65
6	66	1.10	6	85	1.42
7	65	1.08	7	74	1.23
8	63	1.05	8	108	1.80
9	67	1.12	9	103	1.72
10	67	1.12	10	102	1.70
11	67	1.12	11	84	1.40
12	63	1.05	12	106	1.77
13	62	1.03	13	116	1.93
14	64	1.07	14	105	1.75
15	68	1.13	15	107	1.78
16	60	1.00	16	88	1.47
17	59	0.98	17	107	1.78
18	58	0.98	18	113	1.88
19	60	1.00	19	106	1.77
20	61	1.02	20	103	1.72
21	64	1.02	21	87	1.45
22	57	0.95	22	106	1.77
23	57	0.95	23	106	1.77
24	62	1.03	24	100	1.68
25	60	1.00	25	100	1.67
26	68	1.13	26	81	1.35
27	62	1.03	27	100	1.67
28	58	0.97	28	100	1.70
29	60	1.00	29	102	1.73
30	63	1.05	30	98	1.63
31	71	1.18	31	83	1.38
32	65	1.08	32	97	1.62
33	62	1.08	33	101	1.68
34	67	1.12	34	104	1.73
35	61	1.02	35	99	1.65
36	75	1.02	36	79	1.32
37	65	1.08	37	96	1.60
38	63	1.05	38	103	1.72
39	64	1.07	39	105	1.75
40	62	1.07	40	105	1.77
41	71	1.18	41	91	1.52
42	62	1.03	42	105	1.75
43	61	1.03	43	103	1.70
44	62	1.02	43	102	1.80
45	60	1.00	45	108	1.80
46	69	1.15	45	83	1.38
46	62		46	83	
48	57	1.03	47	86	1.38
		0.95			1.43
49 50	61 60	1.02 1.00	49 50	87 82	1.45 1.37

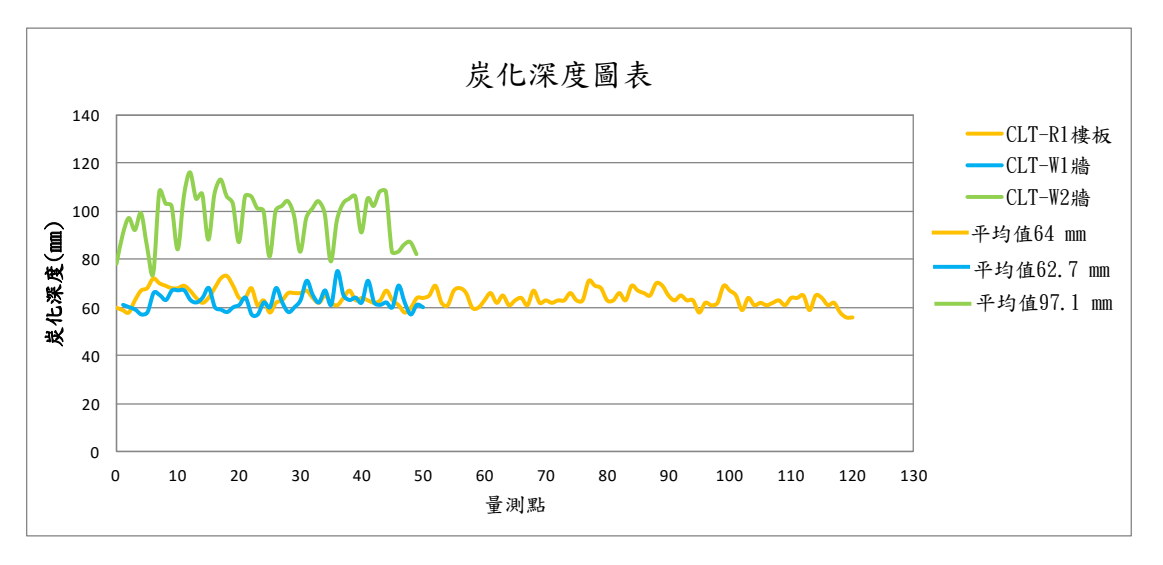
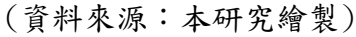


圖 4-8 炭化深度量測結果



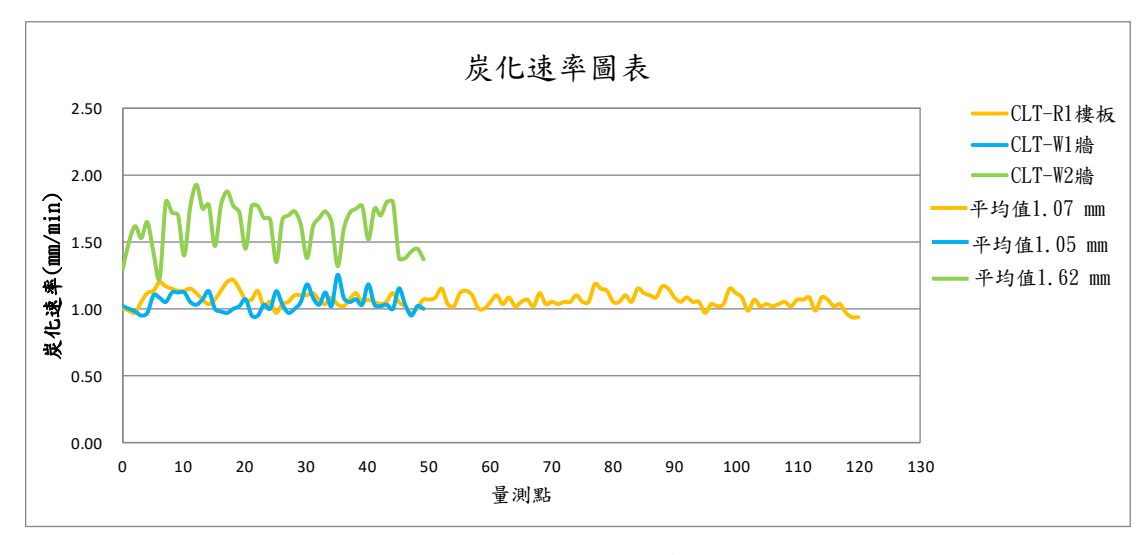


圖 4-9 炭化速率計算結果

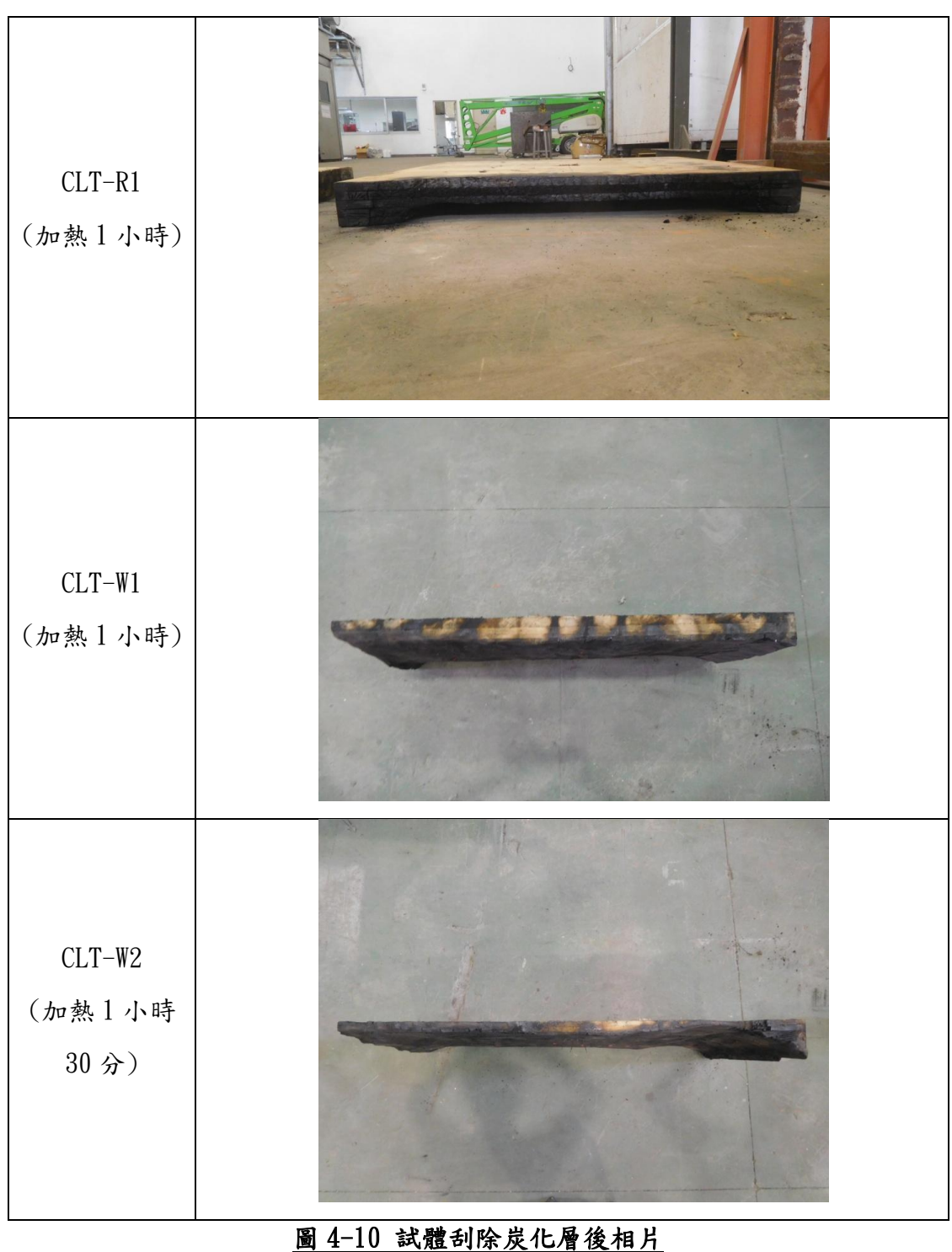
(資料來源:本研究繪製)

由圖 4-8 及圖 4-9 炭化深度量測結果 CLT-R1 樓板平均炭化深度值為 64mm, 平均炭化速率為 1.07mm/min; CLT-W1 牆平均炭化深度值為 62.7mm, 平均炭化速率為 1.05mm/min; CLT-W2 牆平均炭化深度值為 97.1mm, 平均炭化速率為 1.62mm/min。

CLT-R1 樓板及 CLT-W1 牆經 1 小時加熱試驗其炭化量測結果趨近,但均略高於文獻值 1 mm/min,研判係因實驗加熱過程初期 1 分鐘及第 55 分鐘後爐內溫度高於標準加熱溫度,導致炭化深度及炭化速率加快。

本研究炭化深度與炭化速率有應用範圍及條件限制,因CLT板材各層間以不同方向垂直交錯膠合而成,實驗試體樓板係為四邊支承方式進行加熱試驗,實驗

過程中因有重力因素第1層板材產生脫落後,第2層板材亦有支承作用,若為單邊或兩邊支承的樓板經燃燒後第1層板材產生脫落,第2層板材因與第1層板材不同方向並無支承作用,樓板結構乘載力馬上由第3層或以上之板材支承,因此,本研究炭化深度與炭化速率僅應用於四邊支承的樓板。實驗試體牆則採兩邊自由端方式進行試驗,因此,炭化深度與炭化速率應用範圍較為廣泛。



<u>4-10 試體刮除炭化層後相片</u> (資料來源:本研究整理)

第五章 結論與建議

第一節 結論

- 一、實驗試體 CLT-R1 及 CLT-R2 尺寸 160×140cm,因採水平加熱方式溫度蓄積於試體加熱面底部,且 CLT 板材可燃物火載量大,因小型多功能爐排氣口位於底部排氣功能略顯不足,使得試體於 55 分鐘後加熱溫度均高於標準加熱溫度,實驗試體 CLT-W1 及 CLT-W2 尺寸 110×60cm 試驗結果亦相同,建議試體尺寸應縮減,樓板試體縮減為 160×30cm,牆試體縮減為 110×30cm,對於加熱 1 小時可滿足標準溫度加熱條件,但對於加熱 2 小時則須進一步實驗探討。
- 二、 炭化深度量測結果 CLT-R1 樓板平均炭化深度值為 64mm,平均炭化速率為 1.07mm/min; CLT-W1 牆平均炭化深度值為 62.7mm,平均炭化速率為 1.05mm/min; CLT-W2 牆平均炭化深度值為 97.1mm,平均炭化速率為 1.62mm/min,試體 CLT-R1 樓板及 CLT-W1 牆經 1 小時加熱試驗其炭化量測 結果趨近,但均略高於文獻值 1 mm/min,研判係因實驗加熱過程初期 1 分鐘及第 55 分鐘後爐內溫度高於標準加熱溫度,導致炭化深度及炭化速率加快。
- 三、實驗結果炭化深度及炭化速率與日本炭化預估模式交叉比對雖可符合文獻設計手冊規定,但實際加熱實驗結果卻略高於理論值,研究顯示爐內加熱溫度應以可控制在標準加熱溫度曲線,避免受高溫影響其炭化深度及炭化速率。
- 四、 建議扁柏樹種直交集成板之炭化深度與炭化速率防火設計值,1 小時炭化 深度防火設計值為64mm,炭化速率防火設計值為1 mm/min,2 小時部分 因加熱爐內溫度偏高則須進一步實驗探討。

第二節 建議

建議一

可以依據 CLT 木構造炭化深度及炭化速率實驗結果研提木構造建築物設計及施工技術規範修正建議:立即可行建議

主辦機關:本部建築研究所

協辦機關:內政部營建署

現行「木構造建築物設計及施工技術規範」第九章建築物之防火中第 9.3 節木構造防火設計定義木構造分為梁柱構件、框組壁式、原木層疊三類,建議增訂直交集成板 CLT 炭化深度與炭化速率。此項研究成果可供構造建築物設計及施工技術規範修正建議。

建議二

研擬直交集成板材不同樹種的炭化深度與炭化速率防火設計規範:中長期建議

主辦機關:本部建築研究所

協辦機關:內政部營建署

本研究受限經費僅能進行日本扁柏之樓板及牆試驗,未能涵蓋國產柳杉、日本柳杉、北美 SPF、花旗松及歐洲雲杉等國際間常用材種,若未來能納入研究,則可涵蓋國際間常用樹種之炭化深度與炭化速率防火設計規範參考。

附錄一 期初、期中及期末會議紀錄回覆

(一)期初審查會議記錄與回應

項次	審查意見	研究回應
	針對梁柱構件角偶處炭化率	因 CLT 為牆板系統無梁柱構
1	計算方式與兩側邊不同要如	件,本年度研究案以樓板及
	何計算,建議可納入今年研究	牆為主。
	案評估計算方式。	
	木構造膠合材料不同,炭化率	膠合劑的類型和木材厚度對
	及炭化深度也會有所不同,請	CLT 炭化速率的影響,如果
2	了解木構造膠合原理與防火	能夠掌握結構材的炭化速率
	時效說明比對。	的話,則可以基於初始截面
		來計算剩餘截面的耐火性。
	請說明實驗材料選用以日本	配合本所協同研究案選用相
	CLT 為主。CLT 是否為耐燃材	同的日本CLT實驗試體,國
3	料及燃燒產生的發煙量多寡。	外研究表明 CLT 為良好的耐
		燃材料,而燃燒產生的發煙
		量需進一步研究。
	膠合集成材與 CLT 膠合方式	集成材以同方向膠合而成,
	是否相同應敘明清楚,實驗以	CLT 則是以縱橫向膠合而
	小型多功能爐進行測試是否	成,兩者不同於層板組合,
4	考慮使用大型梁柱複合爐進	今年度協同研究案以大型梁
	行測試。	柱複合爐進行測試,本研究
		則以小型多功能爐進行測
		試。
	木構造建築物設計及施工技	遵示辦理。
5	術規範規定樓層高度不可超	
	過4層樓,臺中森科總部標註	

	為5層樓請釐清確認。	
6	本研究之方向具體可行,研究	遵示辦理。
	內容應予論述釐清界定。	

(二)期中審查會議記錄與回應

項次	審查意見	研究回應
	材料選擇檜木及膠之原因可	目前國內僅一家廠商代理日
	再說明。	本 CLT、一家廠商代理奧地利
		CLT、一家廠商國產 CLT(該廠
		商還未申請防火時效測試及
1		工程實績),本研究案因經費
		有限,由代理日本CLT 廠商無
		償提供實驗試體進行研究,未
		來國內廠商若也願意提供免
		費試體,將可規劃納入實驗研
		究。
	TCL 及一般木材(原木或合成	今年度以日本 CLT 為研究對
2	木)之炭化差異主要在膠及接	象,後續可針對不同國家生產
_	合面,未來結果可朝此方向討	之CLT及材種探討不同膠合劑
	論。	對炭化層的影響。
	文內已收集相關學者提出炭	樓板與牆加熱實驗後炭化深
	化率評估公式,目前僅進行樓	度與炭化率結果將與炭化率
	板與牆各2組試驗,建議將其	評估模式比較分析,利用實
3	相關參數深入分析並繪製比	驗數據與預估模式之相關係
	較圖形,再定出實驗參數,後	數討論公式預估之準確性,
	續炭化率評估模式研析較容	並提出國內炭化深度設計
	易聚焦。	值。

	「圖 3-1 CNS 12514-1、ISO	已修正。
4	834-1、ASTM E119 加熱溫度	
	曲線」應不包含 ASTM E119 加	
	熱溫度曲線,請修正。	
	參考書目格式請再確認。另部	已修正。
5	分學者文內有提及,但是參考	
	書目未列入。	
	本案是否有評估板片方向性	CLT 板為縱橫多層次積材屬
	與燃燒及載重的關係(例如單	縱橫交叉方向非單向板,今
6	向板)。	年主要以均勻加熱無載重測
		試方式探討炭化深度及速
		率。
	直交集成板 CLT 所使用的膠	本研究採用日本 CLT 實驗試
7	合劑用量、成分、厚度等,是	體,其規格符合日本 JAS "直
'	否會影響縱橫向炭化深度及	交集成板的日本農林規格
	速率。	"規定。
8	集成板可能涉及木材本身、膠	遵示辦理。
	結物,對防火特性會有影響。	
	集成材或許不適合用於結構	國外研究表明 CLT 板材為承
9	承重材?建議可以往防火門	重能力極佳之結構承重材,
	牆方向研究。	目前最高為24層樓純CLT板
		材組立而成。
	研究題目是直交集成板但研	CLT 又稱為縱橫多層次實木
10	究報告第二章寫縱橫多層次	結構積材或直交集成板,國
	實木結構積材,是否相同請確	內 CNS 已定義為直交集成
	認修正。	板,本研究報告將統一修正
		為直交集成板。

	實驗試體選用日本扁柏之原	因實驗試體採用日本進口之
	因為何?應選用臺灣樹種例	扁柏試體,其水性高分子異
	如臺灣松、柳杉、杉木等材	氰酸脂膠合劑用量、成分、
11	料,另有關膠合劑選用水性高	厚度等亦符合日本 JAS "直
	分子異氰酸脂,目前國內無此	交集成板的日本農林規格
	類膠,選用水性高分子異氰酸	"規定。
	脂原因為何?	
	簡報第 16 頁以雷射測距儀如	本研究炭化深度量測方式係
	何量測炭化深度?其準確度	以本所防火實驗中心發明之
12	是否正確。	專利"樓板厚度量測方法
		"之量測設備進行,使用之
		雷射測距儀精度為 0.1mm。
	臺灣大多以 RC 或鋼構為主甚	感謝委員意見。
	少木造構部分,但木構造建築	
13	具氣密、隔音、保溫、環保、	
	耐震等優點,木構造的耐火性	
	與防火性要符合技術規範不	
	容易,未來方向應推廣。	
	本所今年另一項CLT 協辦案	協辦案 CLT 實驗試體作加熱
	十七	加載測試 1 小時,但僅加載
	有加載測試,請就兩項研究結	300 kg/m²,依建築技術規則
14	果比較分析有、無加載碳化深	樓板載重應為 200~600
	度的差異,及探討未來應用的	kg/m²,且試體產生撓曲後其
	汉的左方。汉外的不不忘川的	炭化深度與速率各部分均有
	合理性。	所差異,如載重不同炭化深
		度與速率亦不同,本研究針
		對 CLT 實驗試體採均勻受熱

		方式,其炭化深度與炭化率
		有較高準確率。
15	從研究方法角度來看,如僅選	目前國內生產之 CLT 板材尚
	用國外CLT 材種比較偏向產	未有經過防火時效試驗認
		證,亦無新材料新工法審核
	品驗證就性質,如能選用臺灣	認可,後續可針對國內 CLT
	建材較具有本土研發的價值。	板材進行相關試驗研究。

(三)期末審查會議記錄與回應

1	研究內容探討CLT板材的炭化	感謝委員意見。
	特性,目前實驗成果顯示炭化	
	深度與炭化速率等與文獻資	
	料相符,研究成果符合預期目	
	標。	
2	未來宜持續進行參數分析,包	未來將持續進行國產柳杉、
	括層數的變化、不同木材、以	日本柳杉、北美 SPF、花旗
		松及歐洲雲杉等國際間常用
	及加長加熱關聯(探討防火時	材種、層數的變化等炭化數
	数的延伸)。	據資料,並調整實驗試體尺
		寸,以達到2小時防火時效
		的驗證研究。
3	有關實驗結果與文獻預測炭	遵示辨理。
	化率比較分析部分,建議可再	

	增加其他國外學者於標準升	
	温曲線進行之炭化深度的評	
	一 <u>一一一一一一一一一一一一一一一一一一一一一一一一一一一一一一一一一一一</u>	
	估模式(例如White and	
	Nordheim, 1992 · Yang,	
	etal., 2009 · White and	
	Dietenberger, 1999等)。	
	因防火實驗經費高,本土化數	遵示辦理。
4	據收集極不容易。本案實驗資	
	料建議與本所109年協同研究	
	計畫「直交集成板(CLT)構造	
	防火設計之研究」研究成果整	
	併提案增修「木構造建築物設	
	計及施工技術規範」。	
5	CLT加熱試驗時隨著加熱過程	CLT 樓板及牆加熱試驗時因
	會產生炭化層脫落之情況,如	有重力因素,炭化層會隨著
		加熱過程產生脫落,考量炭
	此會有炭化速率非線性的狀	化速率非線性應作係數折
	態,未來增修法規時應將此考	滅,如何折減則需進一步研
	量於炭化率的規定中。	究探討。
6	建議累積這些研究成果,參加	感謝委員意見。

	國內外研討會,本研究項目的	
	立意及研究成果頗值得分享。	
7	日後研究課題可以進一步深	遵示辦理。
	入討論CLT所使用的膠合劑用	
	量、成分、厚度等影響。	
	研究的數據資料庫是否足夠	今年研究僅針對日本扁柏樹
	建立炭化速率、深度的評估模	種進行研究 ,將持續建立不
8		同樹種的炭化深度與炭化速
	式?或是只足夠作一初步了	率數據資料庫。
	解。	
9	本實驗在建立對CLT板材的本	感謝委員意見。
	國實驗成果及測試,以了解實	
	際性能,值得肯定。	
	實驗結果與國外文獻有差	因木材可燃物火載量大導致
	異,是否因為儀器實驗條件不	實驗結果與國外文獻有差
10		異,將調整實驗試體尺寸,
	同而導致,可以進一步探討。	使小型多功能加熱爐加熱條
		件可符合標準升溫曲線。
11	由於CLT板材各層間以不同方	將於成果報告敘述本研究炭
	向垂直交錯,以長向樓板為	化深度與炭化速率應用範圍 及條件。
	例,若曝火面板材與長向平	

行,當第1層燒毀脫落,第2 層拼接材因與長向垂直,無法 發揮結構作用,乘載力馬上上之板材承擔,因此 第3層以上之板材承擔,宜比之乘載力不宜之 其火實木材以炭化深度 接述。若要以炭化深度表 地,則應有詳細說明,以免 用。

參考書目

- 1. 內政部部營建署,「木構造建築物設計及施工技術規範」, 2011。
- 2. 內政部部營建署,「建築技術規則」, 2019。
- 3. 木質構造設計規準·同解說,日本建築學會, 2006。
- 4. 何明錦, 雷明遠, 「木構造防火技術規範與集成材炭化特性之研究」, 2005。
- 5. 中村賢一、山田誠,「木造建築の防火設計」,1998。
- 6. 陳啟仁總編輯,「木構造建築物防火設計施工參考手冊」,內政部建築研究所, 台北,2014。
- 7. 楊德新、王松永,「中小徑木製造構造用集成材及其工程性能之研究」,國立臺灣大學生物資源暨農學院森林環境暨資源學系博士論文,2007。
- 8. 蘇鴻奇,「框組壁式木構造牆耐火性能研究」,國立成功大學博士論文,2014。
- 9. 濱田稔,「木材の燃焼速度」,日本火災学会論文集,Vol. 2,No. 3: 11-12, 1953。
- 10. 菅原進一,「木材の炭化速度に関する考察」, 日本建築學會大會学術講演梗概集,日本建築學會,北海道,日本,1978。
- 11. 安井昇, 大規模木造建築の防耐火設計, 技術報告, Vol. 40, No. 4, pp7-18, 2015。
- 12. 安井昇, 加来千紘, スギ材を仕上げに用いた準耐火構造壁の開発, 技術報告, Vol. 41, No. 4, pp9-20, 2016。
- 13. CLT 関連告示等解説書,日本住宅・木材技術センター, 2016。
- 14. CLT 用建築物設計與施工規範,日本住宅・木材技術センター,2016。
- 15. 中華民國國家標準 CNS 12514-1 (2014),「建築物構造構件耐火試驗法-第1部:一般要求事項」,經濟部標準檢驗局。
- 16. 中華民國國家標準 CNS 12514-5 (2014),「建築物構造構件耐火試驗法-第5部:承重水平區劃構件」,經濟部標準檢驗局。
- 17. 中華民國國家標準 CNS 12514-8 (2014),「建築物構造構件耐火試驗法-第8部:非承重垂直區劃構件」,經濟部標準檢驗局。
- 18. GBT 50708 膠合木結構技術規範,大陸,2012。
- 19. International Building Code(IBC), 美國, 2015。
- 20. National Design Specification for Wood Construction (NDS),美國,2015。
 - J. S. Afr. Inst. Civ. Eng., Fire tests of South African cross-laminated

直交集成板(CLT)構造炭化率之研究

timber wall panels: fire ratings, charring rates, and delamination, vol.62 n.1 Midrand Mar. 2020.

- 21. Kathinka Leikanger Friquin, Mads Grimsbu, Per Jostein Hovde., Charring rates for Cross-laminted timber panels exposed to standard and papametric fires, 2010.
- 22. Michael Klippel, Claude Leyder, Andrea Frangi, Mario Fontana., Fire Tests on Loaded Cross-laminated Timber Wall and Floor Elements, 2014.